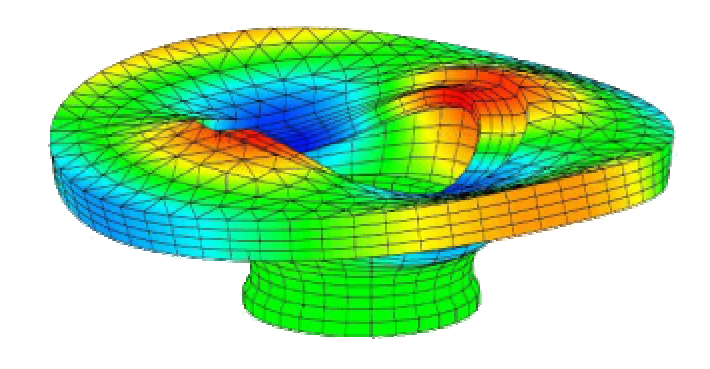
MÉCANIQUE DES STRUCTURES

MS5:COMPLEMENTS DE DYNAMIQUE DES STRUCTURES LES MODES PROPRES CONCENTRENT L'INFO



Programme Mécanique II - Mécanique des Structures 2004-2005

MS1 (02/12): Les méthodes énergétiques: Des méthodes « éclair » pour calculer des poutres à liaisons multiples

• TD 1(02/12):Pont-Stade de France

MS2(10/12): Structures complexes: les éléments finis simplifient les calculs

• TD2(10/12) : Arbre d'alternateur

MS3(16/12) :**Plaques** :**du 3D au 2D**

• TD3(16/12) :Etage cryogénique d'Ariane V: Plaque de révolution en flexion

MS4(06/01) : le flambement :un exemple d'instabilité

• TD4(06/01):Flambement par dilatation des rails de chemin de fer

MS5 (13/01): Vibrations des structures (compléments): les modes propres concentrent l'info

• TD5(13/01) :Réponse dynamique d'un poteau de basket Etude dynamique d'un arbre d'alternateur

MS5:COMPLEMENTS DE DYNAMIQUE DES STRUCTURES LES MODES PROPRES CONCENTRENT L'INFO

- 1.THEOREME DES PUISSANCES VIRTUELLES POUR UN SOLIDE ELASTIQUE 2.PRINCIPE DE HAMILTON (pm)
- 3.MATRICES DE MASSE ET RIGIDITE
- 4. VIBRATION DES SYSTEMES CONTINUS:
- PERFORMANCES DES ELEMENTS FINIS
- •Poutre en TC
- •Poutre en flexion
- •Différentes CL, chargements,FRF
- •Généralisation
- ETUDE de CAS

1.THEOREME DES PUISSANCES VIRTUELLES POUR UN SOLIDE ELASTIQUE

- -Solide élastique linéaire
- -Petits mouvements autour d'une position d'équilibre
- -Les forces sont réparties à la frontière :

théorème des travaux(puissances) virtuelles si w est un champ cinématiquement admissible:

$$-dU+dWext=0$$

$$\int_{\Omega} \text{Tr}(\mathbf{s}(\mathbf{u}).\mathbf{e}(\mathbf{w})) dV = \int_{\Omega} (-\rho \ddot{\mathbf{u}}, \mathbf{w}) dV + \int_{\Omega} (\mathbf{f}_{v}, \mathbf{w}) dV + \int_{\partial \Omega} (\mathbf{f}_{s}, \mathbf{w}) dS$$

On discrétise les déplacements(réels et virtuels) suivant un nombre fini de :

- -fonctions de base w_i,
- -associées à un vecteur q_i de coordonnées généralisées

(éléments finis ,déformées hypothétiques, ou expérimentales.....)

1.THEOREME DES PUISSANCES VIRTUELLES POUR UN **SOLIDE ELASTIQUE**

$$\int_{\Omega} \text{Tr}(\mathbf{s}(\mathbf{u}).\mathbf{e}(\mathbf{w})) dV = \int_{\Omega} (-\rho \ddot{\mathbf{u}}, \mathbf{w}) dV + \int_{\Omega} (\mathbf{f}_{v}, \mathbf{w}) dV + \int_{\partial \Omega} (\mathbf{f}_{s}, \mathbf{w}) dS$$

$$\mathbf{u}(\mathbf{x}) = \left[\mathbf{W}\right]\mathbf{q} = \sum_{j=1}^{n} \mathbf{w}_{j}(\mathbf{x})\mathbf{q}_{j} = \left[\cdots \mathbf{w}_{j} \cdots \right] \begin{bmatrix} \vdots \\ \mathbf{q}_{j} \\ \vdots \end{bmatrix}$$
espace temps

$$\int_{\Omega} Tr(\mathbf{s}(\mathbf{w}_{j}\mathbf{q}_{j}).\mathbf{e}(\mathbf{w}_{i}\underline{\mathbf{q}_{i}}))d\mathbf{V} = \int_{\Omega} (-\mathbf{w}_{j}\ddot{\mathbf{q}}_{j}, \mathbf{w}_{i}\underline{\mathbf{q}_{i}})d\mathbf{V} + \int_{\Omega} (\mathbf{f}_{v}, \mathbf{w}_{i}\underline{\mathbf{q}_{i}})d\mathbf{V} + \int_{\partial\Omega} (\mathbf{f}_{s}, \mathbf{w}_{i}\underline{\mathbf{q}_{i}})d\mathbf{V}$$

1.THEOREME DES PUISSANCES VIRTUELLES POUR UN SOLIDE ELASTIQUE

$$\int_{\Omega} Tr(\mathbf{s}(\mathbf{w}_{j}\mathbf{q}_{j}).\mathbf{e}(\mathbf{w}_{i}\underline{\mathbf{q}_{i}}))dV = \int_{\Omega} (-\mathbf{w}_{j}\ddot{\mathbf{q}}_{j}, \mathbf{w}_{i}\underline{\mathbf{q}_{i}})dV + \int_{\Omega} (\mathbf{f}_{v}, \mathbf{w}_{i}\underline{\mathbf{q}_{i}})dV + \int_{\partial\Omega} (\mathbf{f}_{s}, \mathbf{w}_{i}\underline{\mathbf{q}_{i}})dS$$

$$\mathbf{u}(\mathbf{x}) = [\mathbf{W}]\mathbf{q} = [\cdots \mathbf{w}_{j} \cdots \begin{bmatrix} \vdots \\ \mathbf{q}_{j} \\ \vdots \end{bmatrix}, \quad {}^{t}\mathbf{w}(\mathbf{x}) = {}^{t}\underline{\mathbf{q}}^{t}[\mathbf{W}] = {}^{t}\underline{\mathbf{q}} \begin{bmatrix} \vdots \\ \mathbf{w}_{i} \end{bmatrix}, \quad {}^{t}\underline{\mathbf{q}} = [\cdots \underline{\mathbf{q}}_{i} \cdots]$$

$$\underbrace{\operatorname{Tr}(\sigma(w_{j})\varepsilon(w_{i}))dV}_{\cdot} \underbrace{\left[\begin{array}{c} \vdots \\ q_{j} \\ \vdots \end{array} \right] + \stackrel{t}{q} \underbrace{\left[\begin{array}{c} \cdot \cdot \cdot \\ \int_{\Omega} \rho w_{j} \ w_{i} dV \\ \cdot \cdot \cdot \end{array} \right] \stackrel{\vdots}{\vdots} = \stackrel{t}{q} \underbrace{\left[\begin{array}{c} \vdots \\ \partial_{\Omega} \\ \vdots \end{array} \right] + \dots}_{\partial\Omega} \underbrace{\left[\begin{array}{c} \vdots \\ \vdots \\ \partial_{\Omega} \\ \vdots \end{array} \right] + \dots}_{i}$$

$$\mathbf{\dot{q}Kq} + \mathbf{\dot{q}M\ddot{q}} = \mathbf{\dot{q}F}$$

$$\mathbf{Kq} + \mathbf{M\ddot{q}} = \mathbf{F}$$

1.THEOREME DES PUISSANCES VIRTUELLES POUR UN SOLIDE ELASTIQUE

Second membre:

$$\mathbf{F} = \begin{bmatrix} \vdots \\ F_n \\ \vdots \end{bmatrix}, F_n = \int_{\Omega} (\mathbf{f}_V, \mathbf{w}_n) dV + \int_{\partial \Omega} (\mathbf{f}_S, \mathbf{w}_n) dSt$$

- La modélisation en éléments finis **reporte** donc les forces extérieures éventuellement réparties dans le volume ou à la surface du solide **en un ensemble de forces équivalentes associées aux coordonnées généralisées qi**
- On applique quelquefois **directement** les forces aux nœuds du maillage

2.PRINCIPE DE HAMILTON

À voir dans le poly

$$\mathbf{u} = \left[\mathbf{W}\right]\mathbf{q} = \sum_{j=1}^{n} \mathbf{w}_{j} \mathbf{q}_{j}$$

$$\mathbf{M}_{ij} = \int_{\Omega} \rho(\mathbf{w}_i(\mathbf{x}), \mathbf{w}_j(\mathbf{x})) dV$$

$$K_{ij} = \int_{O} \left[Tr s (w_{i}) e (w_{j}) \right] dv$$

Intégrale volumique(3D), linéique(poutre), surfacique(plaque, coque)

Application 1 : barre en traction - compression

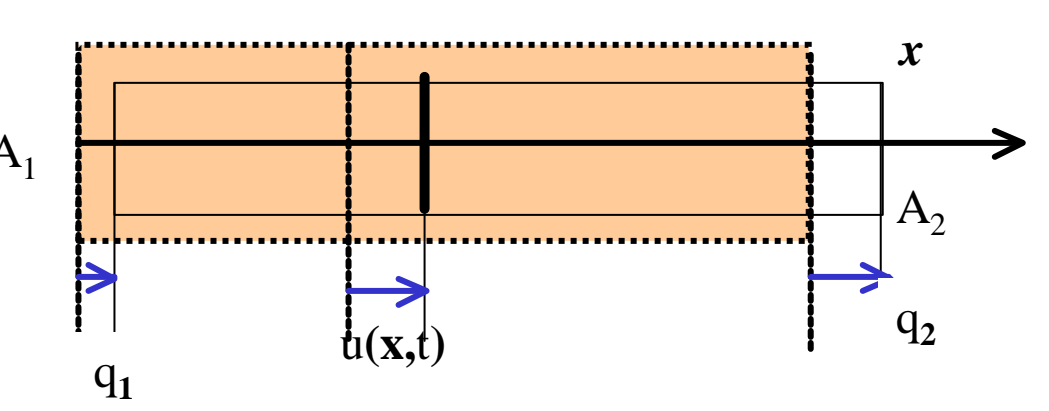
$$q_1(1-\frac{x}{1})+q_2\frac{x}{1}=q_1w_1(x)+q_2w_2(x),$$

où
$$w_1(x) = (1 - \frac{x}{1})$$
, et $w_2(x) = \frac{x}{1}$

Matrice de masse:

$$T = \frac{1}{2}^t \dot{\mathbf{q}} \mathbf{M} \dot{\mathbf{q}}$$

$$M_{ij} = \int_{\Omega} \rho w_i(x) w_j(x) dV$$

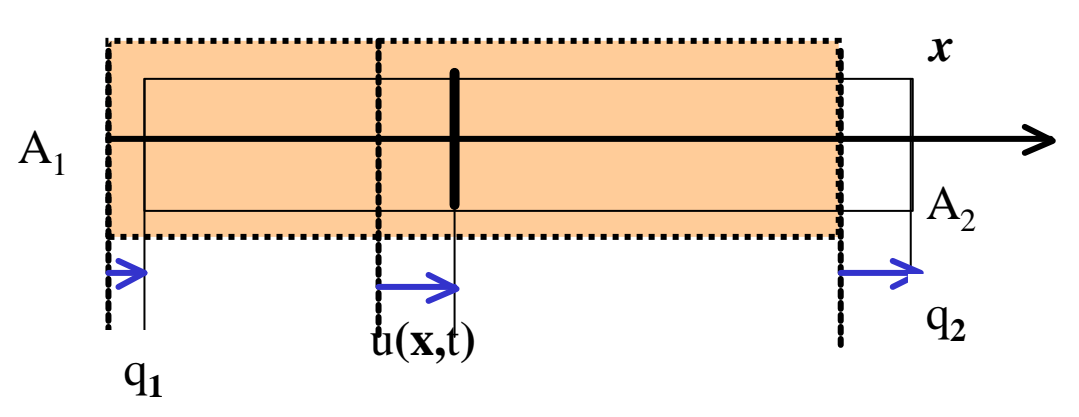


$$\mathbf{M} = \rho \mathbf{S} \int_{0}^{L} \begin{bmatrix} \left(1 - \frac{\mathbf{x}}{L}\right)^{2} & \frac{\mathbf{x}}{L} \left(1 - \frac{\mathbf{x}}{L}\right) \\ \frac{\mathbf{x}}{L} \left(1 - \frac{\mathbf{x}}{L}\right) & \left(\frac{\mathbf{x}}{L}\right)^{2} \end{bmatrix} d\mathbf{x}$$

$$\mathbf{M} = \frac{\rho \mathbf{SL} \begin{bmatrix} 2 & 1 \\ 1 & 2 \end{bmatrix}} = \frac{\mathbf{m} \begin{bmatrix} 2 & 1 \\ 1 & 2 \end{bmatrix}}$$

Application 1:barre en traction -compression

$$u(x) = q_1(1 - \frac{x}{1}) + q_2 \frac{x}{1} = q_1 w_1(x) + q_2 w_2(x),$$
où $w_1(x) = (1 - \frac{x}{1})$, et $w_2(x) = \frac{x}{1}$



Matrice de rigidité

$$U = \frac{ES}{2} \int_{0}^{L} \left[q_{1}, q_{2} \left[\frac{\varepsilon_{11}(w_{1})}{\varepsilon_{11}(w_{2})} \right] \left[\varepsilon_{11}(w_{1}) \varepsilon_{11}(w_{2}) \right] \left[\frac{q_{1}}{q_{2}} \right] dx \varepsilon \right]$$

$$K = ES_{0}^{L} \begin{bmatrix} -\frac{1}{L} - \frac{1}{L} \\ \frac{1}{L} - \frac{1}{L} \end{bmatrix} \begin{pmatrix} \frac{1}{L} - \frac{1}{L} \\ \frac{1}{L} - \frac{1}{L} \end{pmatrix} dx$$

$$K = ES \int_{0}^{L} \left[\begin{pmatrix} -\frac{1}{L} \end{pmatrix} \begin{pmatrix} -\frac{1}{L} \end{pmatrix} \begin{pmatrix} \frac{1}{L} \end{pmatrix} - \frac{1}{L} \\ \left(\frac{1}{L} \right) \begin{pmatrix} -\frac{1}{L} \end{pmatrix} \begin{pmatrix} \frac{1}{L} \end{pmatrix} \begin{pmatrix} \frac{1}{L} \end{pmatrix} \right] dx$$

$$K = ES \int_{0}^{L} \left[\begin{pmatrix} -\frac{1}{L} \end{pmatrix} \begin{pmatrix} -\frac{1}{L} \end{pmatrix} \begin{pmatrix} \frac{1}{L} \end{pmatrix} \begin{pmatrix} \frac{1}{L} \end{pmatrix} \begin{pmatrix} \frac{1}{L} \end{pmatrix} \right] dx$$

$$K = \frac{ES}{L} \left[\begin{pmatrix} 1 & -1 \\ -1 & 1 \end{pmatrix} \right]$$

Application1: barre en traction-compresssion

$$\mathbf{M} = \frac{\rho \mathbf{SL} \begin{bmatrix} 2 & 1 \\ 1 & 2 \end{bmatrix}}{6} = \frac{\mathbf{m}}{6} \begin{bmatrix} 2 & 1 \\ 1 & 2 \end{bmatrix}$$
$$\mathbf{K} = \frac{\mathbf{ES}}{\mathbf{L}} \begin{bmatrix} 1 & -1 \\ -1 & 1 \end{bmatrix}$$

$$K = \frac{ES}{L} \begin{bmatrix} 1 & -1 \\ -1 & 1 \end{bmatrix}$$

Ex:Combien de modes peut-on calculer avec un élément:

Pour une poutre encastée-libre?

Pour une poutre libre-libre?

$$q = \begin{bmatrix} u^1 \\ w^1 \\ u^2 \end{bmatrix},$$

$$\int u(x) = [w_1(x), w_2(x), w_3(x), w_4(x)]q = [\mathbf{W}(x)]q$$

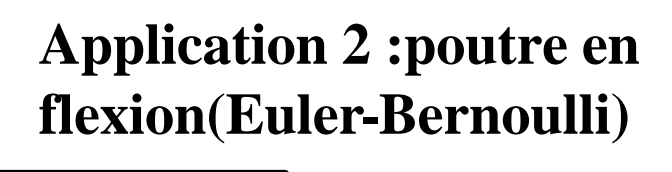
Matrice de masse:

$$T = \frac{1}{2}^{t} \dot{\mathbf{q}} \mathbf{M} \dot{\mathbf{q}}$$

$$\mathbf{M} = \left[\int_0^L \rho \mathbf{S}^t \left[\mathbf{W} \right] \mathbf{W} \right] d\mathbf{x} \right], \quad \mathbf{M}$$

$$\mathbf{M}_{ij} = \int_{\Omega} \rho \mathbf{w}_{i}(\mathbf{x}) \mathbf{w}_{j}(\mathbf{x}) dV$$

$$M = \frac{m}{420} \begin{bmatrix} 156 & 22L & 54 & -13L \\ & 4L^2 & 13L & -3L^2 \\ & & 156 & -22L \\ sym & & 4L^2 \end{bmatrix}$$



$$q = \begin{bmatrix} u \\ w^{1} \\ u^{2} \end{bmatrix}, \quad u(x) = [w_{1}(x), w_{2}(x), w_{3}(x), w_{4}(x)]q = [W(x)]q$$
Matrice de rigidité

Matrice de rigidité

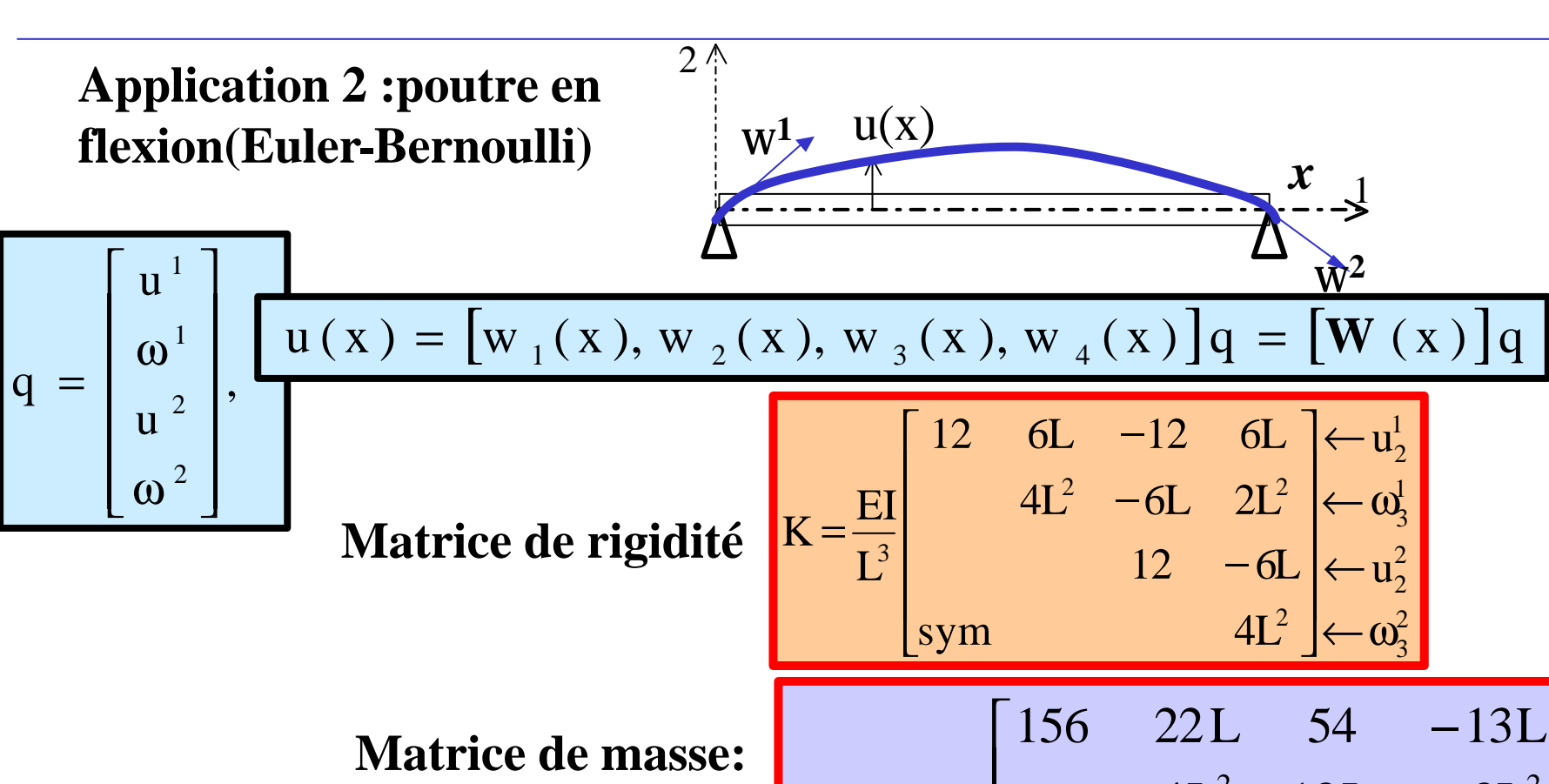
$$U = \frac{1}{2} \int_{0}^{L} EI \left(\frac{d^{2}u}{ds^{2}} \right) ds$$

$$\mathbf{K} = \mathbf{E} \mathbf{I}_{0}^{\mathbf{L}} [\mathbf{W}''(\mathbf{x})] [\mathbf{W}''(\mathbf{x})] d\mathbf{x}$$

$$K = \frac{EI}{L^{3}} \begin{bmatrix} 12 & 6L & -12 & 6L \\ & 4L^{2} & -6L & 2L^{2} \\ & & 12 & -6L \\ sym & & 4L^{2} \end{bmatrix} \leftarrow \frac{u_{2}^{1}}{\omega_{3}^{2}}$$

$$\leftarrow u_{2}^{2}$$

$$\leftarrow u_{2}^{2}$$



$$\mathbf{M} = \frac{\mathbf{m}}{420} \begin{bmatrix} 156 & 22L & 54 & -13L \\ & 4L^2 & 13L & -3L^2 \\ & & 156 & -22L \\ \text{sym} & & 4L^2 \end{bmatrix}$$

Application: poutre en flexion(Euler-Bernoulli)

$$K = \frac{EI}{L^3} \stackrel{\text{\'e}}{\stackrel{\text{\'e}}}{\stackrel{\text{\'e}}{\stackrel{\text{\'e}}{\stackrel{\text{\'e}}{\stackrel{\text{\'e}}{\stackrel{\text{\'e}}}{\stackrel{\text{\'e}}{\stackrel{\text{\'e}}}{\stackrel{\text{\'e}}{\stackrel{\text{\'e}}}{\stackrel{\text{\'e}}{\stackrel{\text{\'e}}}{\stackrel{\text{\'e}}{\stackrel{\text{\'e}}}{\stackrel{\text{\'e}}}{\stackrel{\text{\'e}}{\stackrel{\text{\'e}}}{\stackrel{\text{\'e}}}{\stackrel{\text{\'e}}}{\stackrel{\text{\'e}}}{\stackrel{\text{\'e}}}{\stackrel{\text{\'e}}}{\stackrel{\text{\'e}}}{\stackrel{\text{\'e}}}{\stackrel{\text{\'e}}}{\stackrel{\text{\'e}}}{\stackrel{\text{\'e}}}{\stackrel{\text{\'e}}}}\stackrel{\text{\'e}}{\stackrel{\text{\'e}}}{\stackrel{\text{\'e}}}{\stackrel{\text{\'e}}}{\stackrel{\text{\'e}}}{\stackrel{\text{\'e}}}{\stackrel{\text{\'e}}}}\stackrel{\text{\'e}}{\stackrel{\text{\'e}}}{\stackrel{\text{\'e}}}}\stackrel{\text{\'e}}{\stackrel{\text{\'e}}}}\stackrel{\text{\'e}}{\stackrel{\text{\'e}}}\stackrel{\text{\'e}}}{\stackrel{\text{\'e}}}\stackrel{\text{\'e}}{\stackrel{\text{\'e}}}}\stackrel{\text{\'e}}{\stackrel{\text{\'e}}}}\stackrel{\text{\'e}}{\stackrel{\text{\'e}}}}\stackrel{\text{\'e}}}\stackrel{\text{\'e}}}\stackrel{\text{\'e}}}\stackrel{\text{\'e}}}\stackrel{\text{\'e}}\stackrel{\text{\'e}}}\stackrel{\text{\'e}}}\stackrel{\text{\'e}}}\stackrel{\text{\'e}}}\stackrel{\text{\'e}}}\stackrel{\text{\'e}}}\stackrel{\text{\'e}}}\stackrel{\text{\'e}}}\stackrel{\text{\'e}}}\stackrel{\text{\'e}}}\stackrel{\text{\'e}}\stackrel{\text{\'e}}}\stackrel{\text{\'e}}}\stackrel{\text{\'e}}}\stackrel{\text{\'e}}}\stackrel{\text{\'e}}\stackrel{\text{\'e}}}\stackrel{\text{\'e}}}\stackrel{\text{\'e}}}\stackrel{\text{\'e}}\stackrel{\text{\'e}}}\stackrel{\text{\'e}}}\stackrel{\text{\'e}}}\stackrel{\text{\'e}}}\stackrel{\text{\'e}}}\stackrel{\text{\'e}}}\stackrel{\text{\'e}}}\stackrel{\text{\'e}}}\stackrel{\text{\'e}}\stackrel{\text{\'e}}}\stackrel{\text{\'e}}}\stackrel{\text{\'e}}}\stackrel{\text{\'e}}}\stackrel{\text{\'e}}\stackrel{\text{\'e}}}\stackrel{\text{\'e}}\stackrel{\text{\'e}}}\stackrel{\text{\'e}}\stackrel{\text{\'e}}}\stackrel{\text{\'e}}\stackrel{\text{\'e}}}\stackrel{\text{\'e}}}\stackrel{\text{\'e}}\stackrel{\text{\'e}}}\stackrel{\text{\'e}}\stackrel{\text{\'e}}}\stackrel{\text{\'e}}\stackrel{\text{\'e}}}\stackrel{\text{\'e}}\stackrel{\text{\'e}}}\stackrel{\text{\'e}}\stackrel{\text{\'e}}}\stackrel{\text{\'e}}\stackrel{\text{\'e}}}\stackrel{\text{\'e}}}\stackrel{\text{\'e}}\stackrel{\text{\'e}}}\stackrel{\text{\'e}}\stackrel{\text{\'e}}\stackrel{\text{\'e}}}\stackrel{\text{\'e}}\stackrel{\text{\'e}}}\stackrel{\text{\'e}}\stackrel{\text{\'e}}\stackrel{\text{\'e}}}\stackrel{\text{\'e}}\stackrel{\text{\'e}}\stackrel{\text{\'e}}}\stackrel{\text{\'e}}\stackrel{\text{\'e}}\stackrel{\text{\'e}}\stackrel{\text{\'e}}}\stackrel{\text{\'e}}\stackrel{\text{\'e}}\stackrel{\text{\'e}}}\stackrel{\text{\'e}}\stackrel{\text{\'e}}\stackrel{\text{\'e}}\stackrel{\text{\'e}}\stackrel{\text{\'e}}}\stackrel{\text{\'e}}\stackrel{\text{\'e}}\stackrel{\text{\'e}}\stackrel{\text{\'e}}\stackrel{\text{\'e}}\stackrel{\text{\'e}}\stackrel{\text{\'e}}\stackrel{\text{\'e}}\stackrel{\text{\'e}}\stackrel{\text{\'e}}\stackrel{\text{\'e}}\stackrel{\text{\'e}}\stackrel{\text{\'e}}\stackrel{\text{\'e}}\stackrel{\text{\'e}}\stackrel{\text{\'e}}\stackrel{\text{\'e}}\stackrel{\text{\'e}}\stackrel{\text{\'e}}\stackrel{\text{\'$$

$$K = \frac{e}{L^{3}} \hat{e} \begin{pmatrix} 6L & -12 & 6L \hat{\mathbf{u}} - \mathbf{u}_{2}^{1} \\ \hat{e} & 4L^{2} & -6L & 2L^{2} \hat{\mathbf{u}} - \mathbf{w}_{3}^{1} \\ \hat{e} & 12 & -6L \hat{\mathbf{u}} - \mathbf{u}_{2}^{2} \\ \hat{e} & 4L^{2} \hat{\mathbf{u}} - \mathbf{w}_{3}^{2} \end{pmatrix} M = \frac{e}{420} \hat{e} \begin{pmatrix} 6156 & 22L & 54 & -13L \hat{\mathbf{u}} \\ \hat{e} & 4L^{2} & 13L & -3L^{2} \hat{\mathbf{u}} \\ \hat{e} & 156 & -22L \hat{\mathbf{u}} \\ \hat{e} & \hat{\mathbf{u}} \end{pmatrix}$$

$$M = \frac{m}{420} \hat{e} \begin{pmatrix} 6156 & 22L & 54 & -13L \hat{\mathbf{u}} \\ \hat{e} & 4L^{2} & 13L & -3L^{2} \hat{\mathbf{u}} \\ \hat{e} & 156 & -22L \hat{\mathbf{u}} \\ \hat{e} & \hat{\mathbf{u}} \end{pmatrix}$$

$$4L^{2} \hat{\mathbf{u}} \begin{pmatrix} \hat{\mathbf{u}} \\ \hat{\mathbf{u}} \end{pmatrix} - \mathbf{u}_{3}^{2} \begin{pmatrix} \hat{\mathbf{u}} \\ \hat{\mathbf{u}} \end{pmatrix} - \mathbf{u}_{3}^$$

Matrice de rigidité

Exemples: calcul du premier mode propre en flexion d'une poutre encastrée,

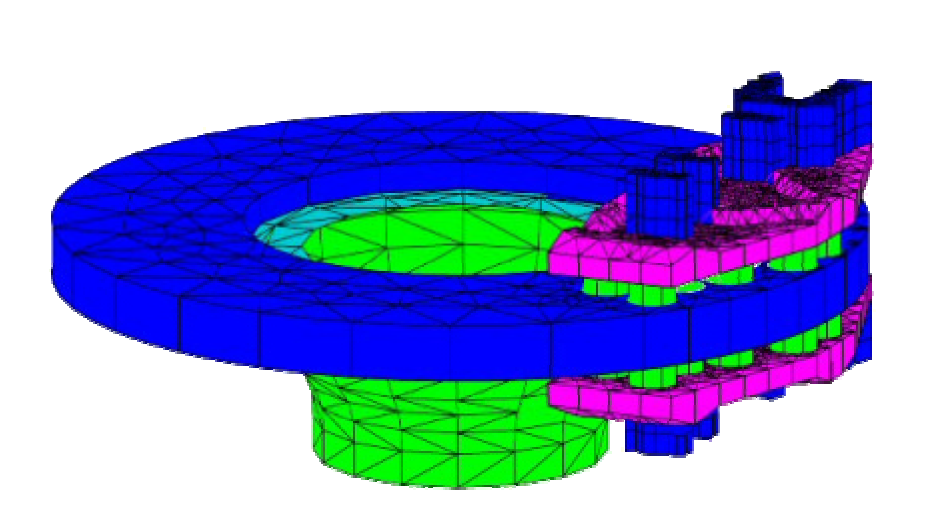


$$\mathbf{M'} = \frac{\mathbf{m}}{420} \stackrel{\text{\'e}}{=} 22\mathbf{L} - 22\mathbf{L} \stackrel{\text{\'u}}{=} 4\mathbf{L}^2 \stackrel{\text{\'u}}{=}$$

$$\mathbf{K}' = \frac{\mathbf{E}\mathbf{I}}{\mathbf{L}^3} \stackrel{\circ}{\mathbf{e}} 12 - 6\mathbf{L} \stackrel{\circ}{\mathbf{u}} - \mathbf{u}_2^2$$

$$\stackrel{\circ}{\mathbf{E}} 6\mathbf{L} \quad 4\mathbf{L}^2 \stackrel{\circ}{\mathbf{u}} - \mathbf{w}_3^2$$

Et pour une structure complexe (assemblage de structures simples-éléments finis)?



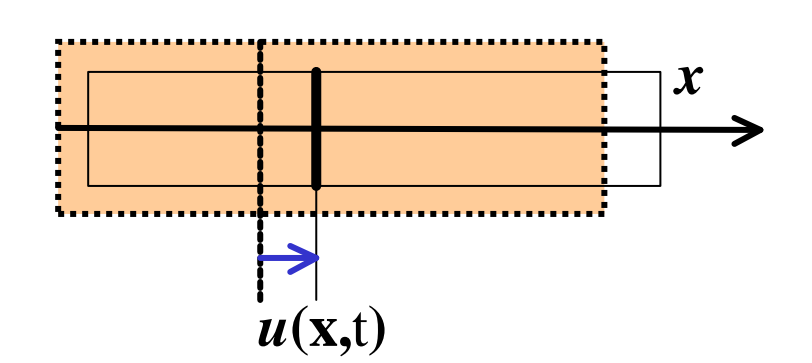
$$T = \frac{1}{2}^{t} \dot{\mathbf{q}} \mathbf{M} \dot{\mathbf{q}}$$

$$U = \frac{1}{2}^{t} \mathbf{q} \mathbf{K} \mathbf{q}$$

Les mêmes règles d'assemblage s'appliquent pour les matrices de masse et de rigidité

4.1.Barre en traction-compression.

4.1.1Mise en équations(rappel)



$$\frac{\partial}{\partial x} \left(E \frac{\partial u}{\partial x} \right) = \rho \frac{\partial^2 u}{\partial t^2}$$

$$u(x,t) = U(x)e^{j\omega t}$$

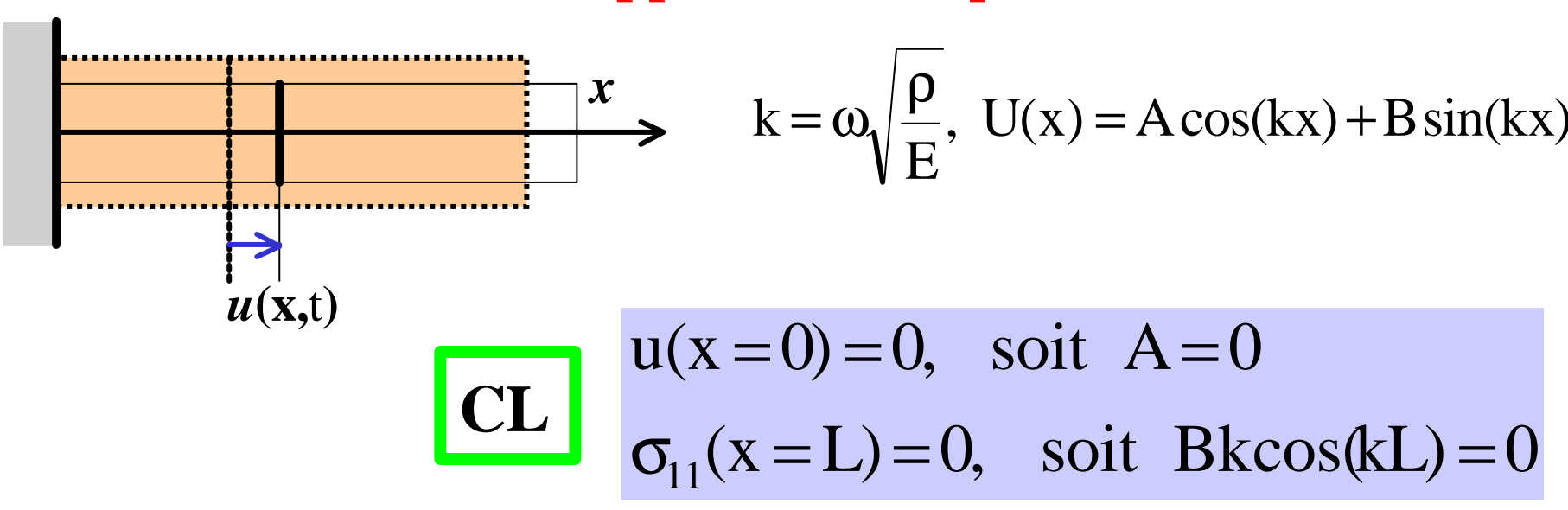
$$E\frac{d^2U(x)}{dx^2} + \rho\omega^2U(x) = 0$$

si
$$k = \omega \sqrt{\frac{\rho}{E}}$$
,

$$U(x) = A\cos(kx) + B\sin(kx)$$

4.1.2 Barre en traction-compression:

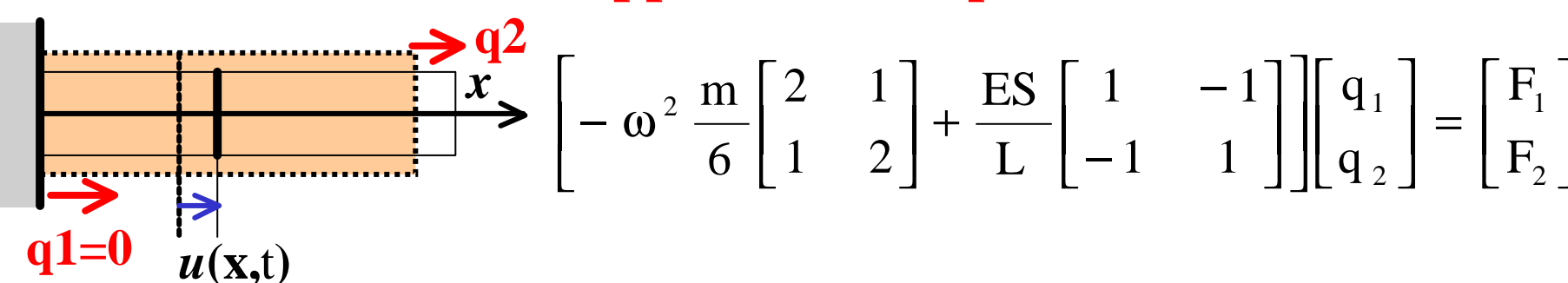
barre encastrée-libre et approximation par éléments finis



$$\omega_{n} \sqrt{\frac{\rho}{E}} L = (2n-1)\frac{\pi}{2}$$
, et $U_{n} = B\sin\left((2n-1)\frac{\pi}{2L}x\right) n \ge 1$

4.1.2 Barre en traction-compression:

barre encastrée-libre et approximation par éléments finis



$$\left[-\omega^2 \frac{m}{6} 2 + \frac{ES}{L}\right] q_2 = 0, \text{ soit } \omega^2 = \frac{3E}{\rho L^2},$$

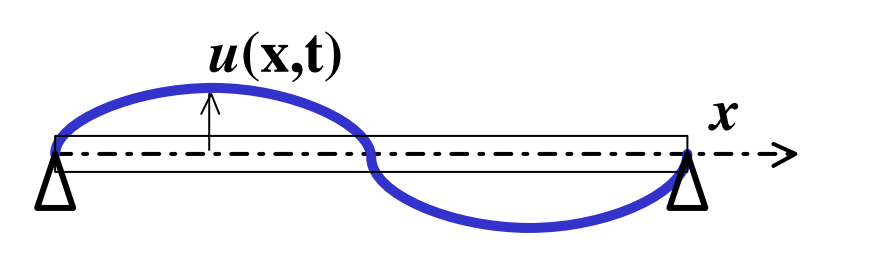
Solution exacte:
$$\omega_n = (2n-1)\frac{\pi}{2L}\sqrt{\frac{E}{\rho}}$$

$$\omega_1^2 = \frac{\pi^2}{4}\frac{E}{\rho L^2} = 2.46\frac{E}{\rho L^2}$$

$$\omega_1^2 = \frac{\pi^2}{4} \frac{E}{\rho L^2} = 2.46 \frac{E}{\rho L^2}$$

4.2.Poutre en flexion.

4.2.1.Mise en équations-CL



$$EI\frac{\partial^{4} u}{\partial x^{4}}(x,t) + \rho S\frac{\partial^{2} u}{\partial t^{2}}(x,t) = 0$$

$$u(x,t) = U(x)\cos(\omega t + \varphi)$$

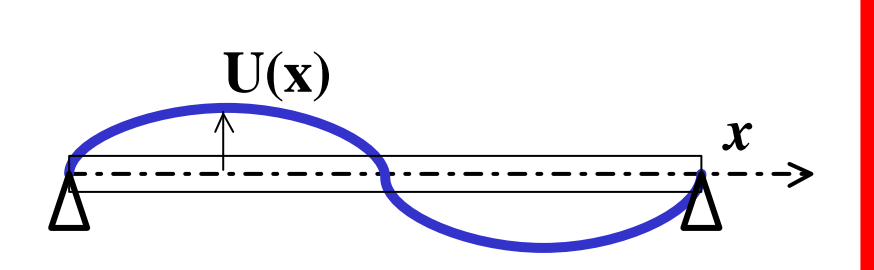
$$U(x) = U_0 e^{\frac{kx}{L}}$$

$$EI\left(\frac{k}{L}\right)^4 - \omega^2 \rho S = 0$$
, soit: $\omega^2 = \left(\frac{k}{L}\right)^4 \frac{EI}{\rho S}$

Solution générale:

$$U(x) = A\cos\left(\frac{kx}{L}\right) + B\sin\left(\frac{kx}{L}\right) + Cch\left(\frac{kx}{L}\right) + Dsh\left(\frac{kx}{L}\right)$$

4.2.2 Poutre en flexion simplement appuyée



$$U(0) = 0, M(0) = 0$$
 $U(L = 0, M(L) = 0$

$$M = EI \frac{\partial^2 U}{\partial x^2}(x, t)$$

Les CL conduisent à sink=0, k=np

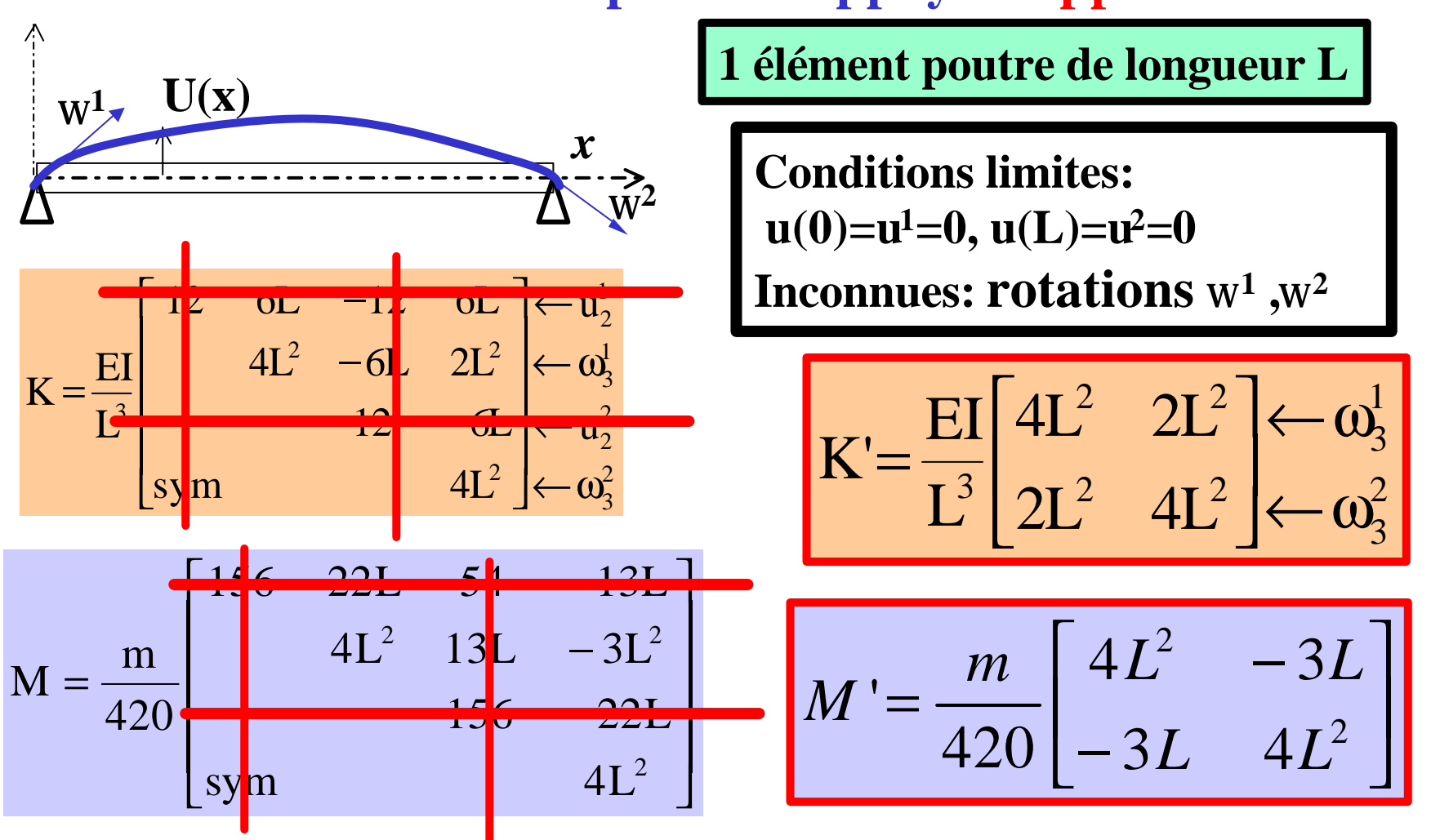
$$\omega^2 = \left(\frac{k}{L}\right)^4 \frac{EI}{\rho S}$$

$$f_n = \sqrt{\frac{EI}{\rho S}} \frac{n^2 \pi}{2 L^2}$$

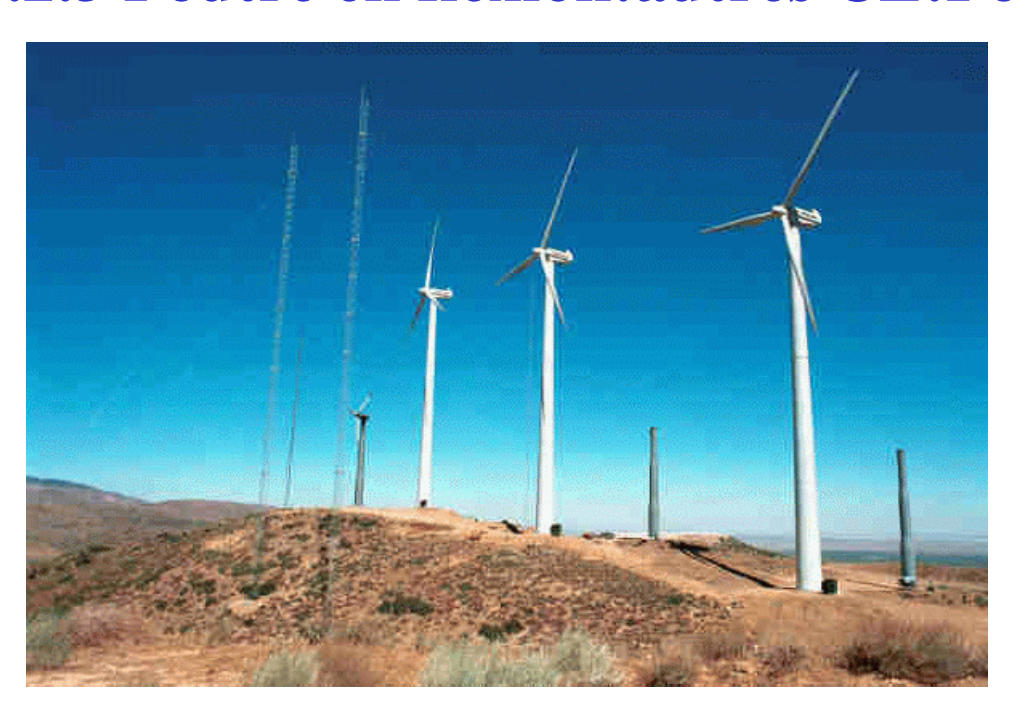
Déformée modale:

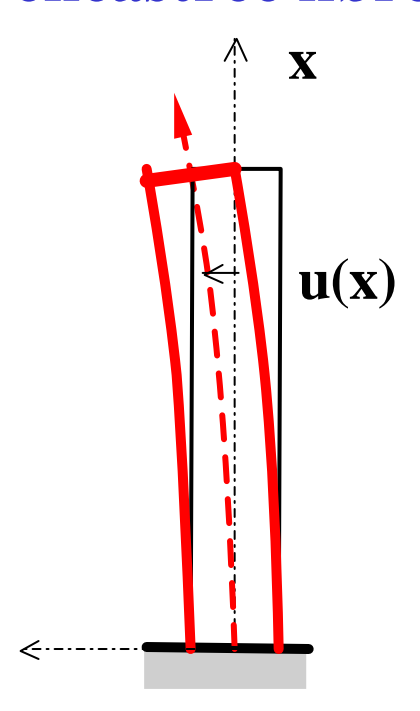
$$U_n = U_0 \sin\left(\frac{n\pi x}{L}\right), n \ge 1$$

4.2.2 Poutre en flexion simplement appuyée: approximation EF



4.2.3 Poutre en flexion: autres CL: Poutre encastrée-libre





Modèle 1 élément fini: pale ou mât

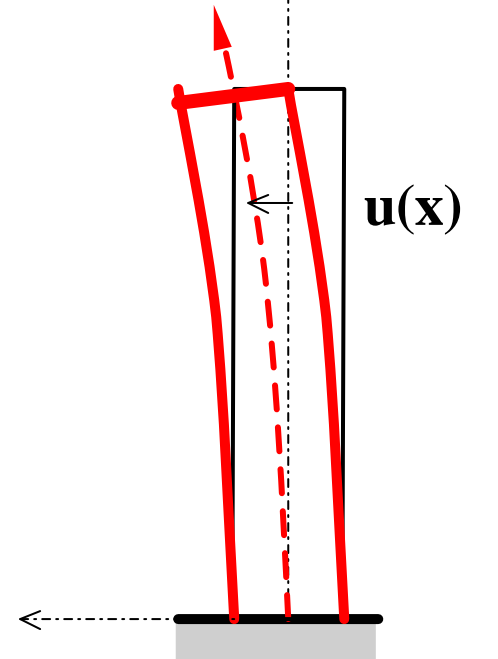
Conditions aux limites: $u(0)=u^1=0,du/ds(0)=w^1=0$

Inconnues: $u(L)=u2,du/ds(L)=w^2$

4.2.3 Poutre en flexion: autres CL: Poutre encastrée-libre

$$K = \frac{EI}{L^{3}} \stackrel{\text{d}}{=} 12 \quad 6L \quad -12 \quad 6L \quad \hat{\mathbf{u}} - \mathbf{u}_{2}^{1} \\ 4L^{2} \quad -6L \quad 2L^{2} \stackrel{\hat{\mathbf{u}}}{=} \mathbf{u}_{3}^{1} \\ 12 \quad -6L \stackrel{\hat{\mathbf{u}}}{=} \mathbf{u}_{2}^{2} \\ 4L^{2} \stackrel{\hat{\mathbf{u}}}{\hat{\mathbf{u}}} - \mathbf{u}_{2}^{2} \\ 4L^{2} \stackrel{\hat{\mathbf{u}}}{\hat{\mathbf{u}}} - \mathbf{u}_{3}^{2}$$

| | é 156 | 22 L | 54 | - 13 L ù |
|---------------------|-------------------|-------------|-------------|-------------------------|
| $M = \frac{m}{420}$ | ê | $4L^2$ | 13 L | $-3L^{2}$ |
| | ê | | 156 | - 22 <i>L</i> ú |
| | ê ë <i>sym</i> | | | $4L^2 \hat{\mathbf{u}}$ |



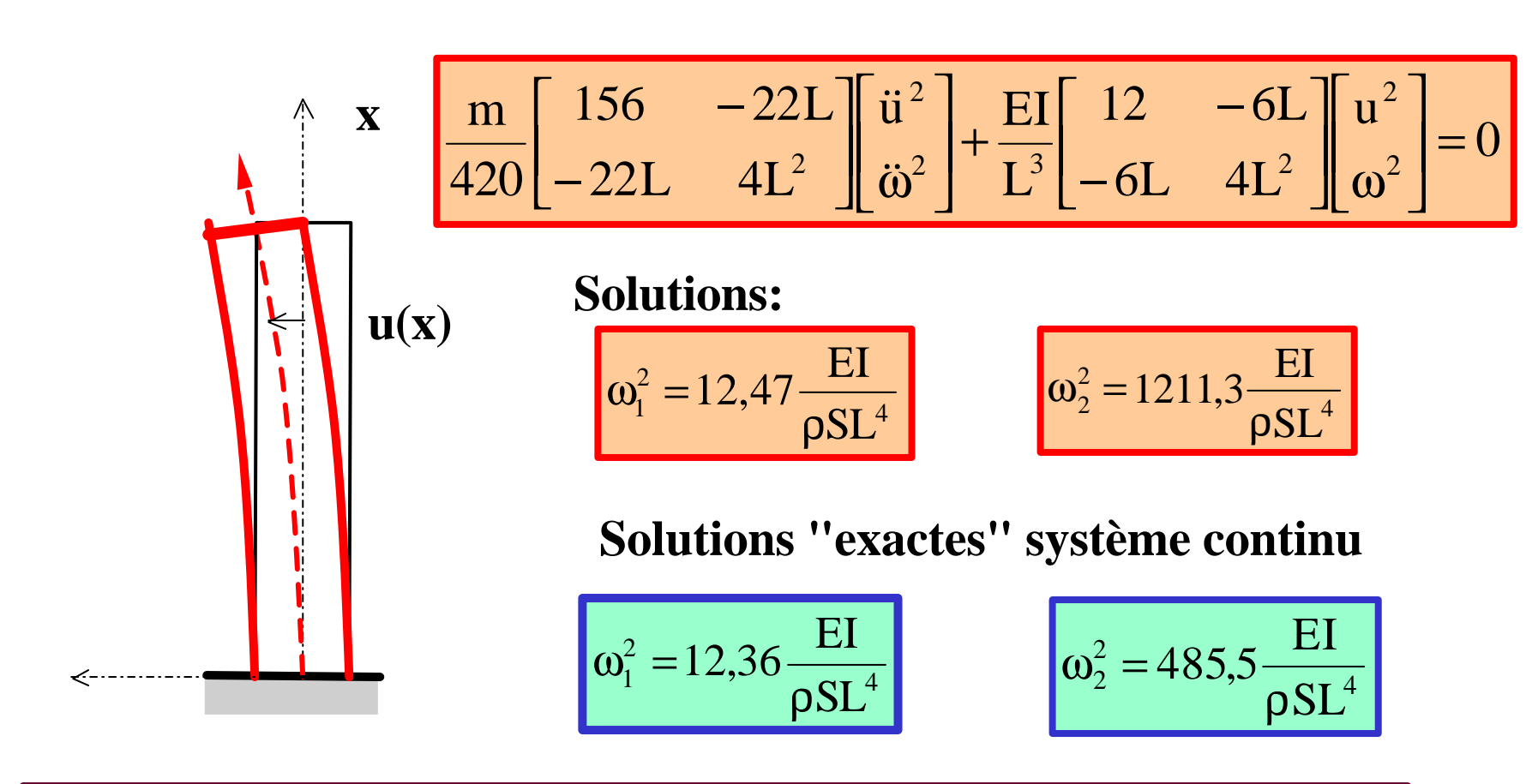
Matrice de masse:

$$M' = \frac{m}{420} \begin{bmatrix} 156 & -22L \\ -22L & 4L^2 \end{bmatrix}$$

Matrice de rigidité

$$\mathbf{K'} = \frac{\mathbf{EI}}{\mathbf{L}^3} \begin{bmatrix} 12 & -6\mathbf{L} \\ -6\mathbf{L} & 4\mathbf{L}^2 \end{bmatrix} \leftarrow \mathbf{u}_2^2 \\ \leftarrow \mathbf{\omega}_3^2$$

4.2.3 Poutre en flexion: autres CL: Poutre encastrée-libre



Seule la première FP est bien approximée, AVEC 1 ELEMENT!

4.3 Poutre en flexion/excitation spatiale variable dans le temps

•Idée:

projeter sur les modes propres, comme en dimension finie

•Outil:

Théorème des puissances virtuelles(TPV)

Pourquoi ça marche:

Les modes propres sont orthogonaux par rapport aux opérateurs (que l'on va définir) de masse et rigidité:découplage des équations

4.3 Poutre en flexion/excitation variable dans le temps.

<u>Opérateurs de masse et rigidité</u>

Définition des opérateurs de masse et rigidité

EI
$$\frac{\partial^4 u}{\partial x^4}(x,t) + \rho S \frac{\partial^2 u}{\partial t^2}(x,t) = f(x,t)$$

TTV:
$$f(x,t)=0$$

 $u(x,t)=n(x)e^{jwt}$

TTV:
$$f(x,t)=0$$

 $u(x,t)=n(x)e^{jwt}$

$$\int_0^L EI \frac{d^4U(x)}{dx^4} v(x) dx - \omega^2 \int_0^L \rho SU(x) v(x) dx = 0$$

Opérateurs de masse et rigidité:

$$< v, KU > -\omega^2 < v, MU > = 0$$

4.3 Poutre en flexion/excitation variable dans le temps. Opérateurs de masse et rigidité

Opérateurs de masse et rigidité:

M et K symétriques et autoadjoints, il existe une base qui diagonalise simultanément M et K

$$<\mathbf{U_m}, \mathbf{MU_n}>=<\mathbf{U_m}, \mathbf{KU_n}>=0 \text{ si m} \neq \mathbf{n},$$

 $<\mathbf{U_n}, \mathbf{KU_n}>=\omega_n^2 <\mathbf{U_n}, \mathbf{MU_n}>=\omega_n^2 \mathbf{m_n}$

Développement/projection de la solution sur les modes

$$\mathbf{u}(\mathbf{x},t) = \sum_{i=1}^{\infty} Y_{j}(\mathbf{x}) q_{j}(t)$$

$$\sum_{j=1}^{\infty} \left(\rho S \ddot{q}_{j}(t) U_{j}(x) + E I q_{j}(t) \frac{\partial^{4} U_{j}(x)}{\partial x^{4}} \right) = f(x,t)$$

Application du Théorème des travaux virtuels, chmp virt. $U_n(x)$

$$\sum_{j=1}^{\infty} \left\{ \ddot{q}_{j}(t) \left(\int_{0}^{L} \rho SU_{j}(x) U_{n}(x) dx \right) + q_{j}(t) \left(\int_{0}^{L} EI \frac{\partial^{4} U(x)}{\partial x^{4}} U_{n}(x) dx \right) \right\} = \int_{0}^{L} f(x,t) U_{n}(x) dx$$

$$<$$
U_n, $Mu_i>$

$$m_n \left[\ddot{q}_n(t) + \omega_n^2 q_n(t) \right] = \int_0^L U_n(x) f(x,t) dx, n = 1,2...$$

Découplage des modes (dénombrables) Projection de l'excitation sur U_n : Mode d'autant plus excité que: Forces''spatialement appropriées'' à la

déformée du mode

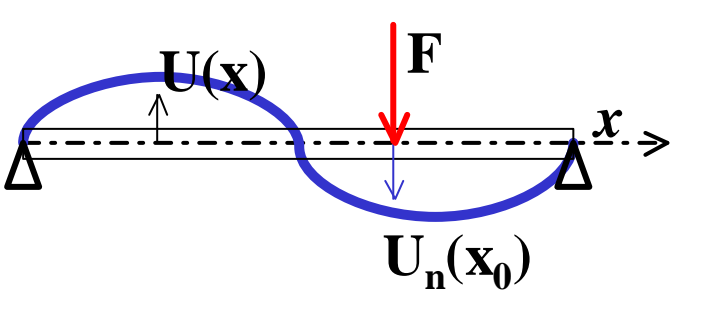
Cas d'une excitation ponctuelle: $f(x,t) = f_{x_0} \delta(x - x_0)$,.

$$m_n [\ddot{q}_n(t) + \omega_n^2 q_n(t)] = U_n(x_0) f_{x_0}(t), n = 1,2..$$

En transformée de Fourier

$$m_n \left[-\omega^2 + \omega_n^2 \right] Q_n(j\omega) = U_n(x_0) F_{x_0}(j\omega)$$

En redéveloppant:
$$U(x, j\omega) = \sum_{j=1}^{\infty} U_j(x)Q_j(j\omega)$$



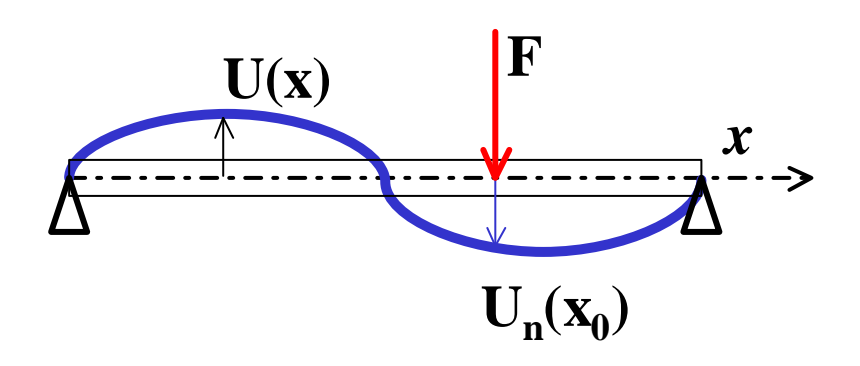
$$H(x, x_0, j\omega) = \frac{U(x, j\omega)}{F_{x_0}(j\omega)} = \sum_{n=1}^{\infty} \frac{U_n(x)U_n(x_0)}{m_n(\omega_n^2 - \omega^2)}$$

Réponse en fréquence : FRF: x/x0

Réponse sur le mode n:

- -proportionnelle à la déformée du mode n au point d'observation
- -proportionnelle à la déformée du mode n au point d'excitation
- -infinie(!!!) à la fréquence de résonance

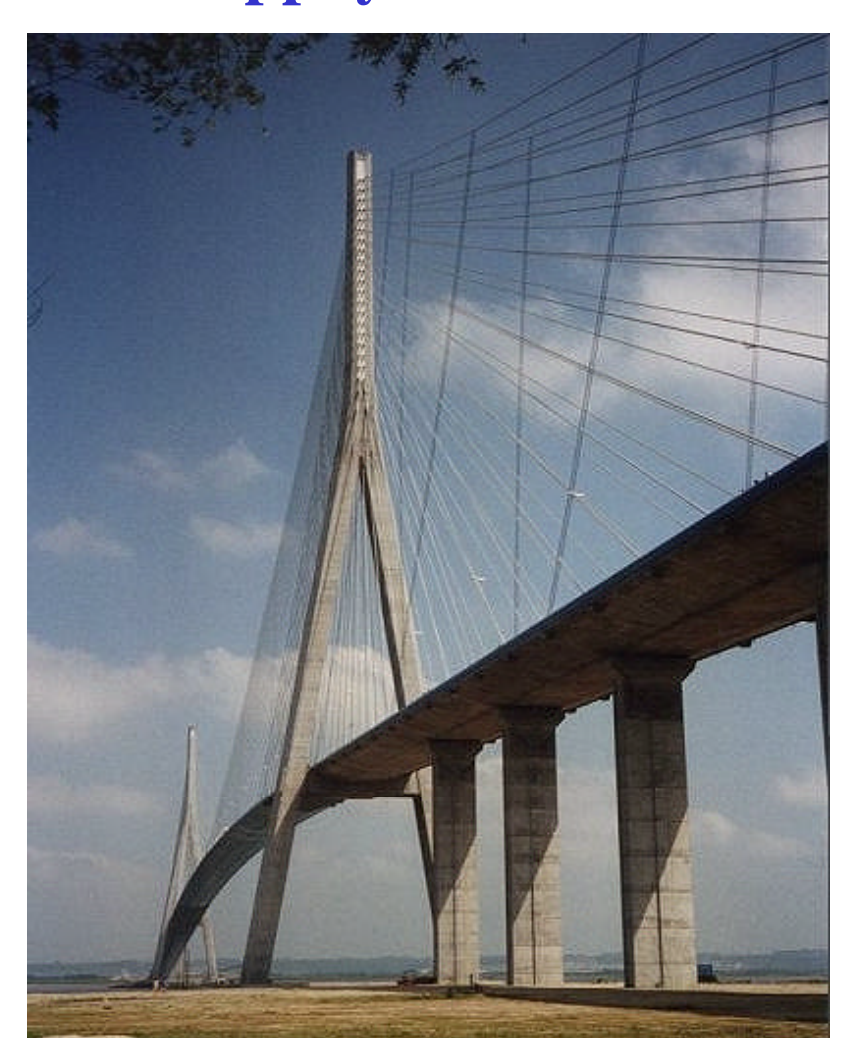
Exemple:Poutre en flexion simplement appuyée



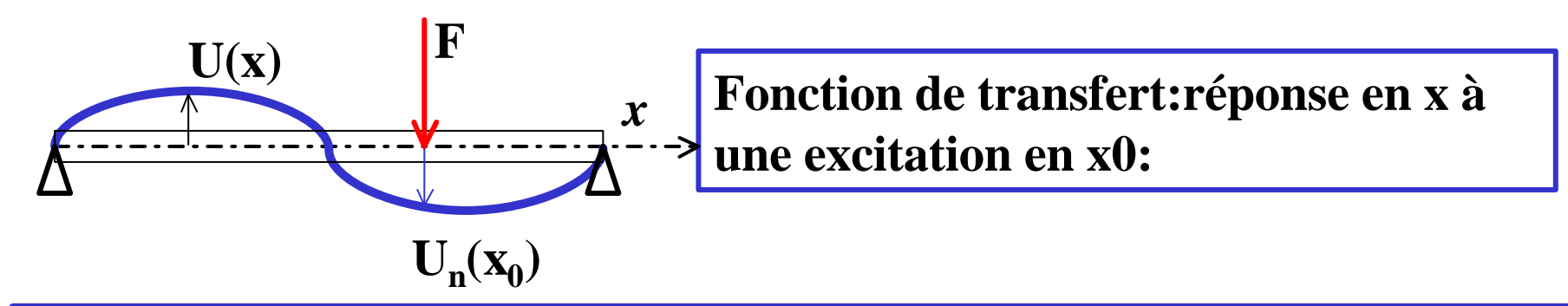
Exemple:

Réponse dynamique d'un pont Mais valable pour sollicitation ponctuelle, harmonique...

Sinon, calculer les modes par EF et projeter....



exemple: Poutre en flexion simplement appuyée

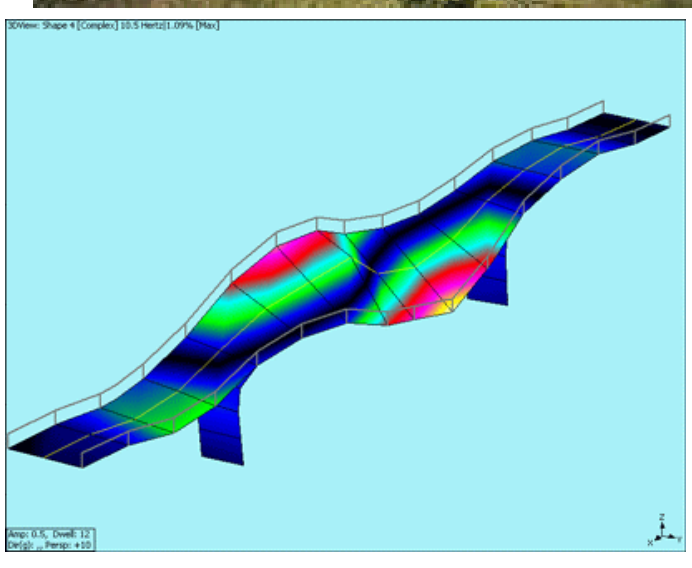


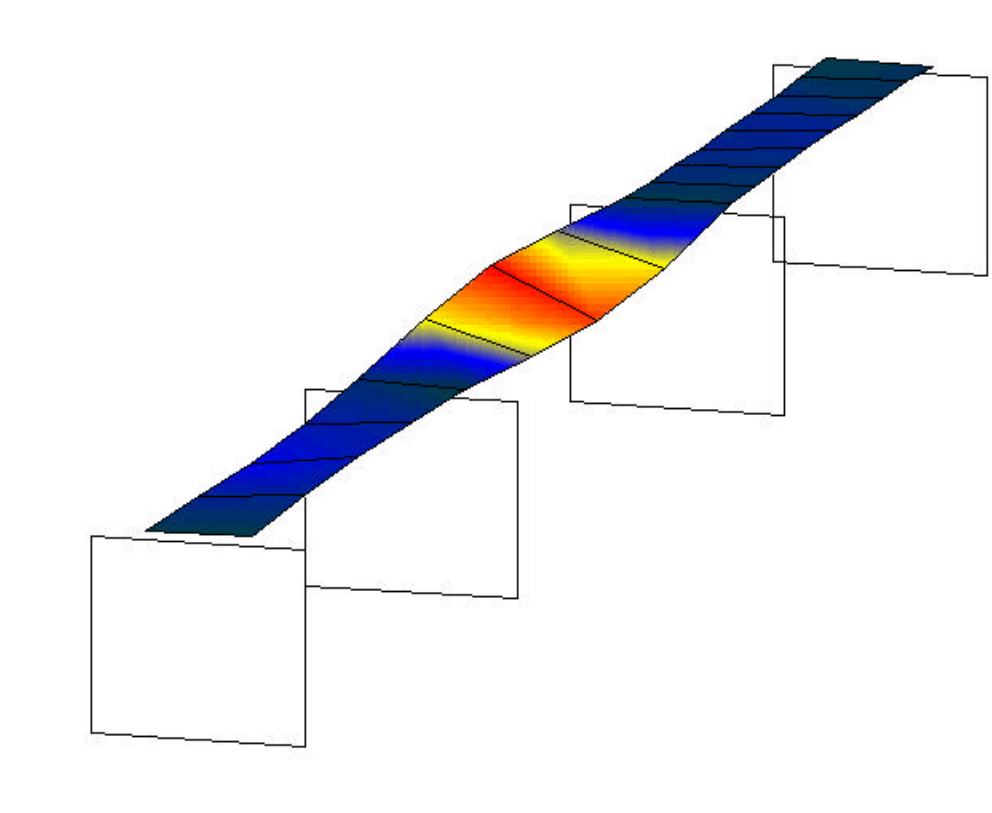
$$H(x,x_{0},p) = \sum_{n=1}^{\infty} \frac{U_{n}(x)U_{n}(x_{0})}{m_{n}(jw^{2} + w_{n}^{2})} = \frac{2}{rSL} \sum_{n=1}^{\infty} \frac{\sin \frac{npx}{L} \sin \frac{npx_{0}}{L}}{p^{2} + \frac{EI}{rS} \left(\frac{np}{L}\right)^{4}}$$

FRF:p=jw

exemple: Modèles de pont 3DView Normal Shape 2 · 3.27788 Hz







Amp: 0.1, Dwell: 8 Dir: X,Y,Z Persp: 0

4.4. Généralisation

4.4.1 opérateurs de masse et rigidité

$$< \mathbf{v}, \mathbf{M}\mathbf{u} >= \int_{\Omega} \rho(\mathbf{u}, \mathbf{v}) dV$$
 (pour un solide 3D)

Opérateur de masse:
$$= \int_{0}^{L} \rho S(\mathbf{u}, \mathbf{v}) dx$$
 poutre

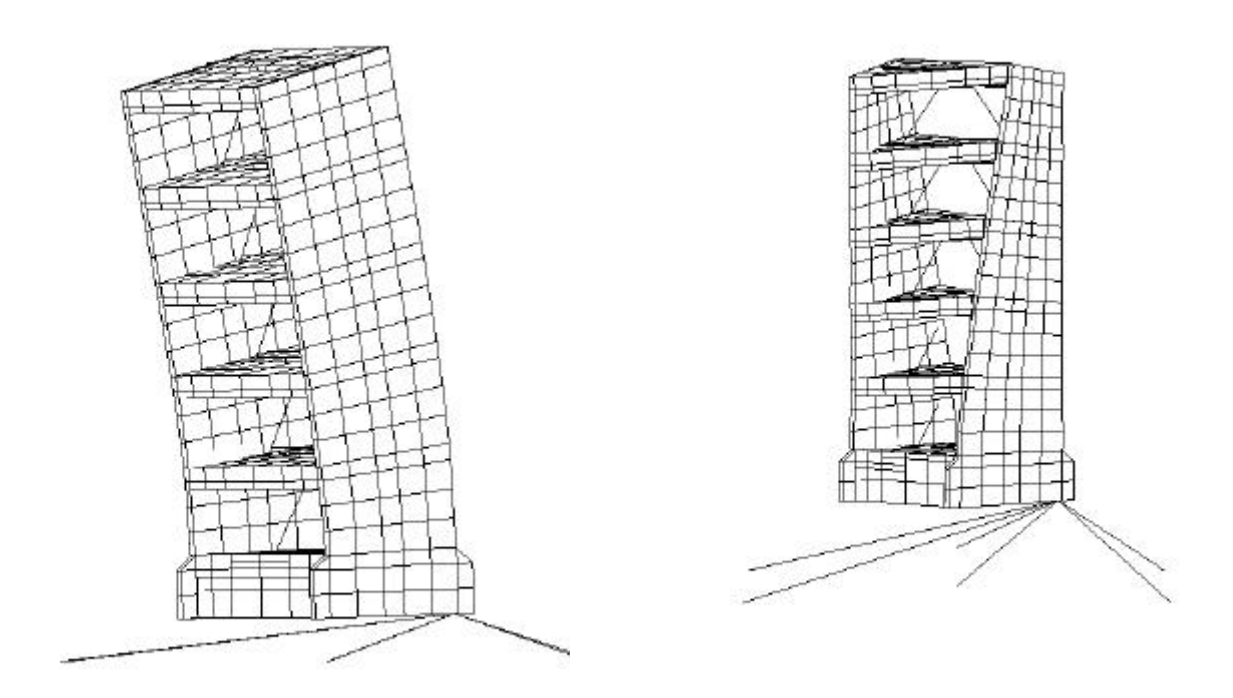
Opérateur de rigidité:

$$\langle \mathbf{v}, \mathbf{K}\mathbf{u} \rangle = \int_{\Omega} \text{Tr}(\mathbf{s}(\mathbf{u}).\mathbf{e}(\mathbf{v}))dV, (\text{pour un solide 3D}) = \int_{0}^{L} \text{EI} \frac{\partial^{4} \mathbf{u}(\mathbf{x})}{\partial \mathbf{x}^{4}} \mathbf{v}(\mathbf{x})d\mathbf{x} \text{ poutre}$$

Il existe une infinité dénombrable de modes orthogonaux par rapport à M et K

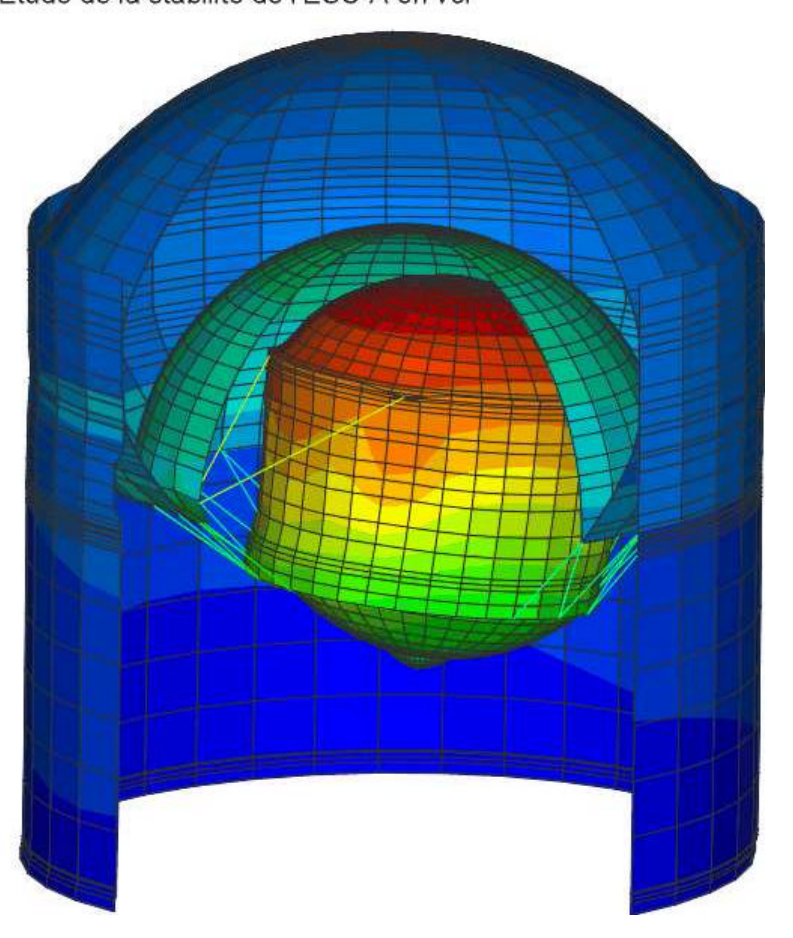
$$<\mathbf{U_m},\mathbf{MU_n}>=<\mathbf{U_m},\mathbf{KU_n}>=0 \text{ si } m \neq n,$$

$$<\mathbf{U_n},\mathbf{KU_n}>=\omega_n^2<\mathbf{U_n},\mathbf{MU_n}>=\omega_n^2\mathbf{m_n}$$

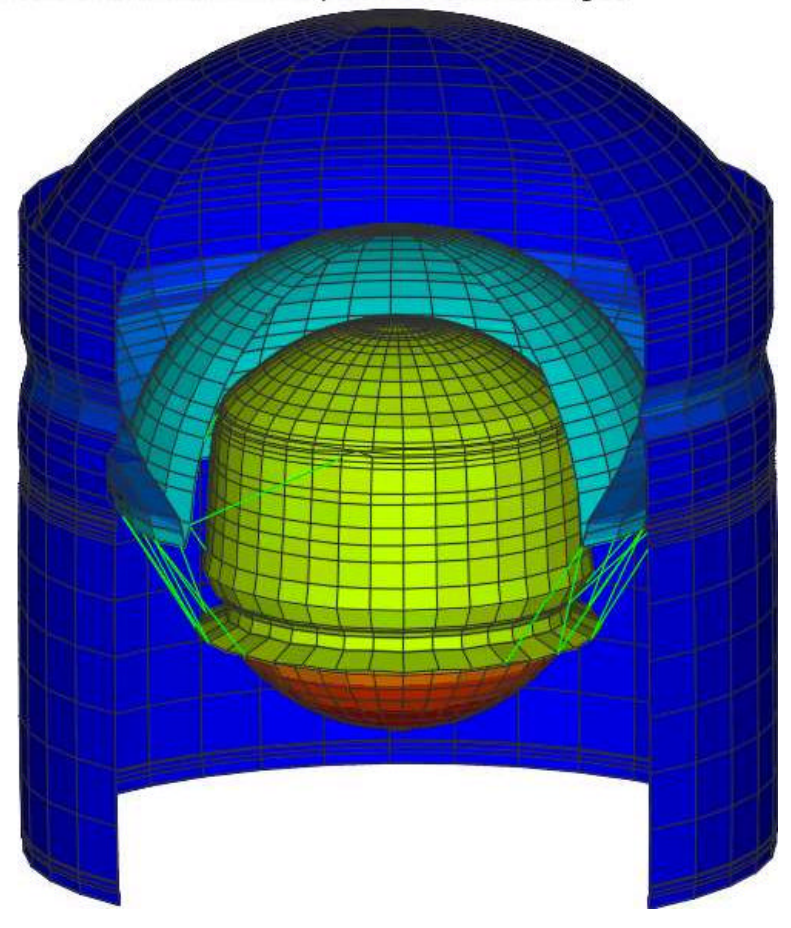


Modes propres d'une maquette de batiment

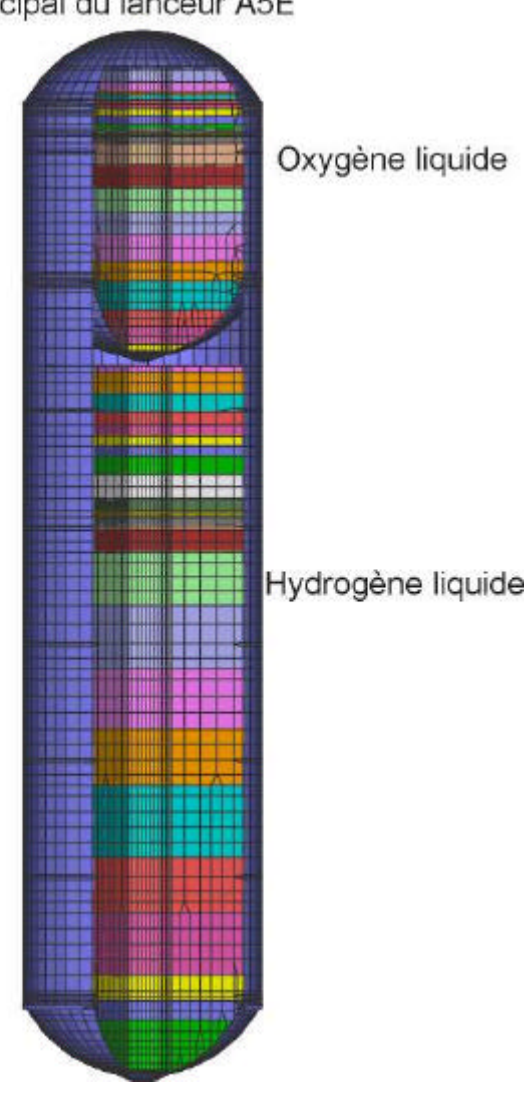
Etage Supérieur Cryotechnique ESC-A du lanceur A5E Mode de basculement Etude de la stabilité de l'ESC-A en vol



Etage Supérieur Cryotechnique ESC-A du lanceur A5E Mode longitudinal Etude des oscillations de pression dans les ergols



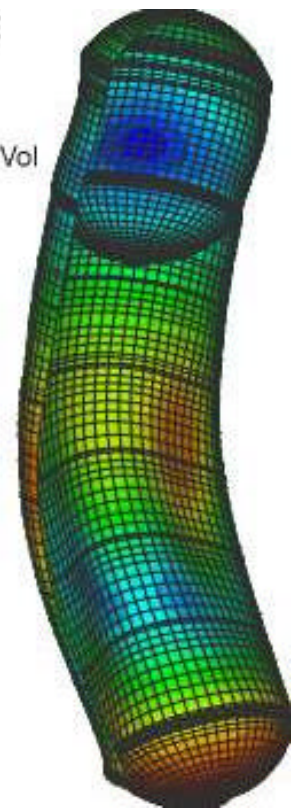
Réservoir principal du lanceur A5E



Réservoir principal du lanceur A5E

Mode de flexion

Etude de la stabilité du lanceur en Vol



Réservoir principal du lanceur A5E

Mode longitudinal

Etude des oscillations de pression dans les ergols



La projection de la réponse sur les modes, et l'application du TPV au mode n donne: $\mathbf{u}(x,t) = \sum_{j=1}^{\infty} \mathbf{U}_{j}(x)q_{j}(t)$

$$\mathbf{u}(\mathbf{x},t) = \sum_{i=1}^{\infty} \mathbf{U}_{j}(\mathbf{x}) q_{j}(t)$$

En temporel:

$$m_{n} \left[\ddot{q}_{n}(t) + \omega_{n}^{2} q_{n}(t) \right] = \int_{\partial \Omega} ?(\mathbf{x}, t) \mathbf{U}_{n}(\mathbf{x}) dS$$

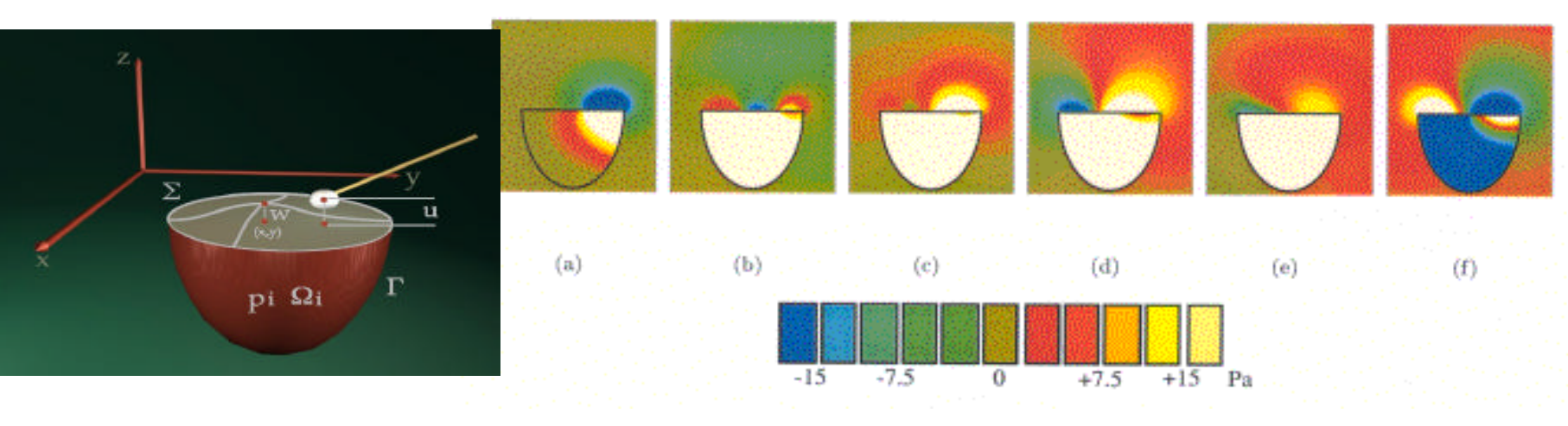
Excitation ponctuelle

$$m_n \left[\ddot{q}_n(t) + \omega_n^2 q_n(t) \right] = Y_n(x) f_{x_0}(t), n = 1,2...$$

la timbale:un exemple de couplage vibroacoustique

Excitation ponctuelle

$$m_n [\ddot{q}_n(t) + \omega_n^2 q_n(t)] = U_n(x) f_{x_0}(t), n = 1,2...$$



FRF réponse en fréquence

$$H(x, x_0, j\omega) = \frac{U(x, j\omega)}{F_{x_0}(j\omega)} = \sum_{n=1}^{\infty} \frac{U_n(x)U_n(x_0)}{m_n(-\omega^2 + 2j\omega\zeta_n\omega_n + \omega_n^2)}$$

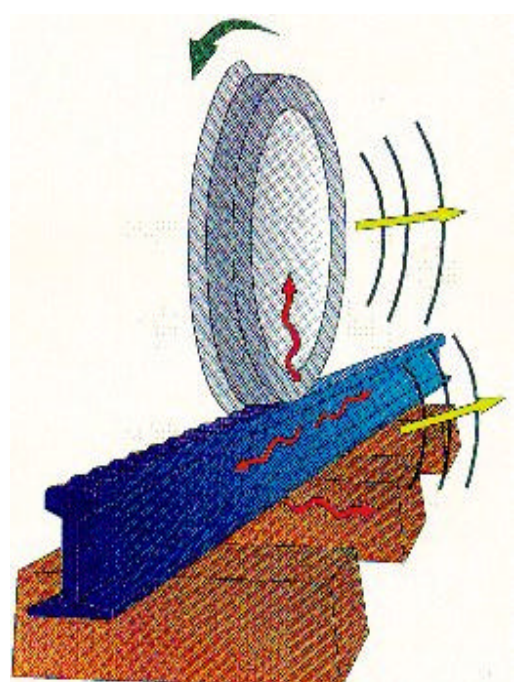
Ex FRF d'une caisse de voiture, roue...

Application: réduction du bruit de roulement des trains

- Le bruit de roulement :
 - Développement du modèle TWINS (ERRI/UIC) 1990-1995
 - Modèle quantitatif (2/3dB(A)):

Des défauts microscopiques (1-10 μm) excitent la roue et le rail

Des ondes/modes sont générés dans le rail

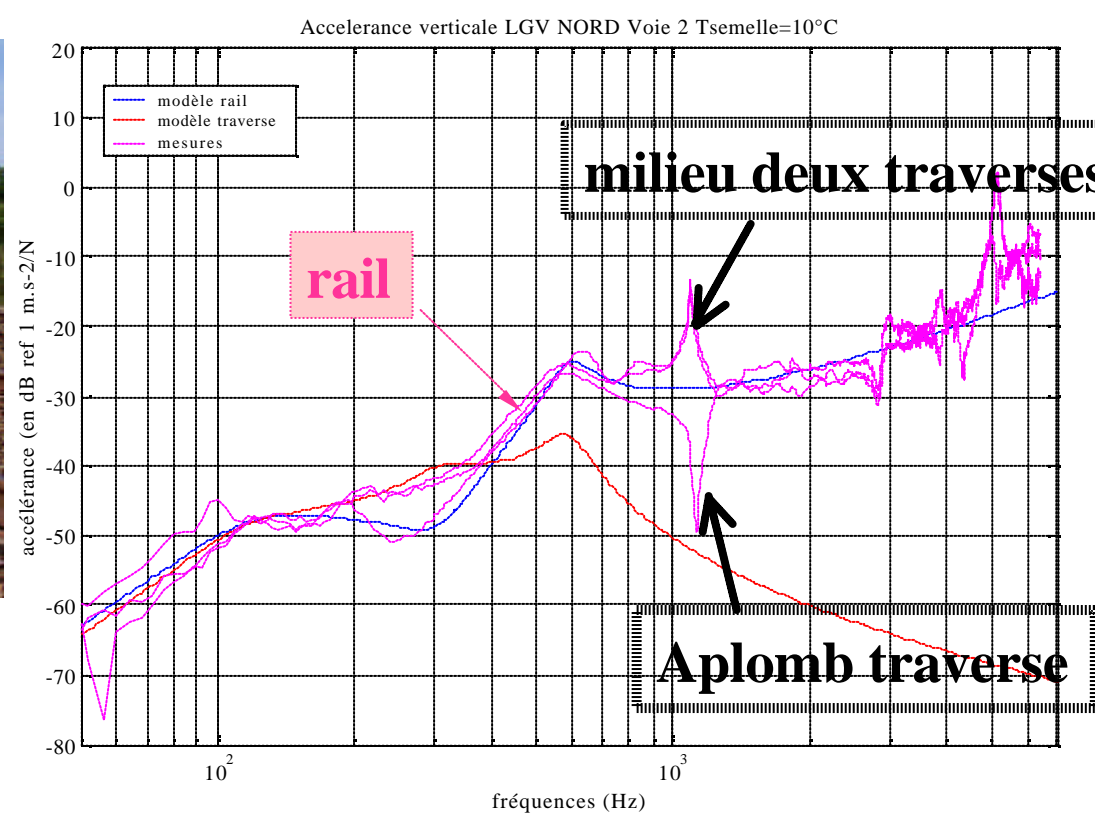


La roue résonne suivant ses modes propres (1600-4000Hz) et rayonne dana ce domaine de fréquences

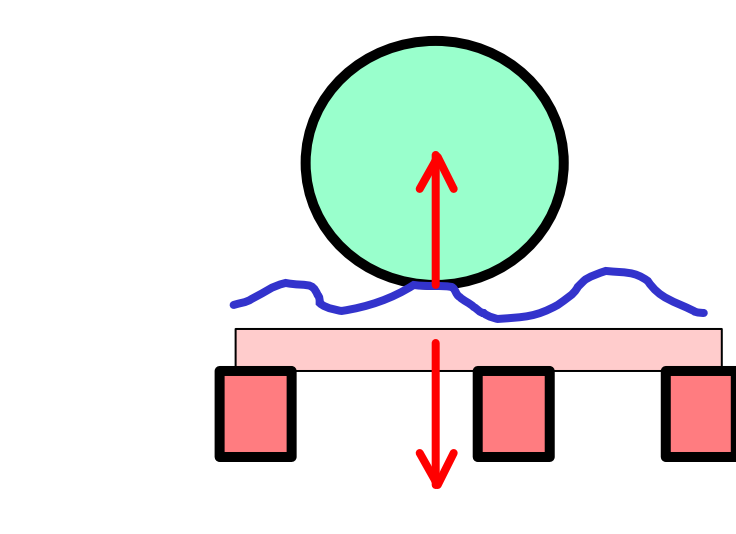
Les traverses rayonnent autour de 400 Hz.

4pplication:réduction du bruit de roulement des trains dynamique de la voie





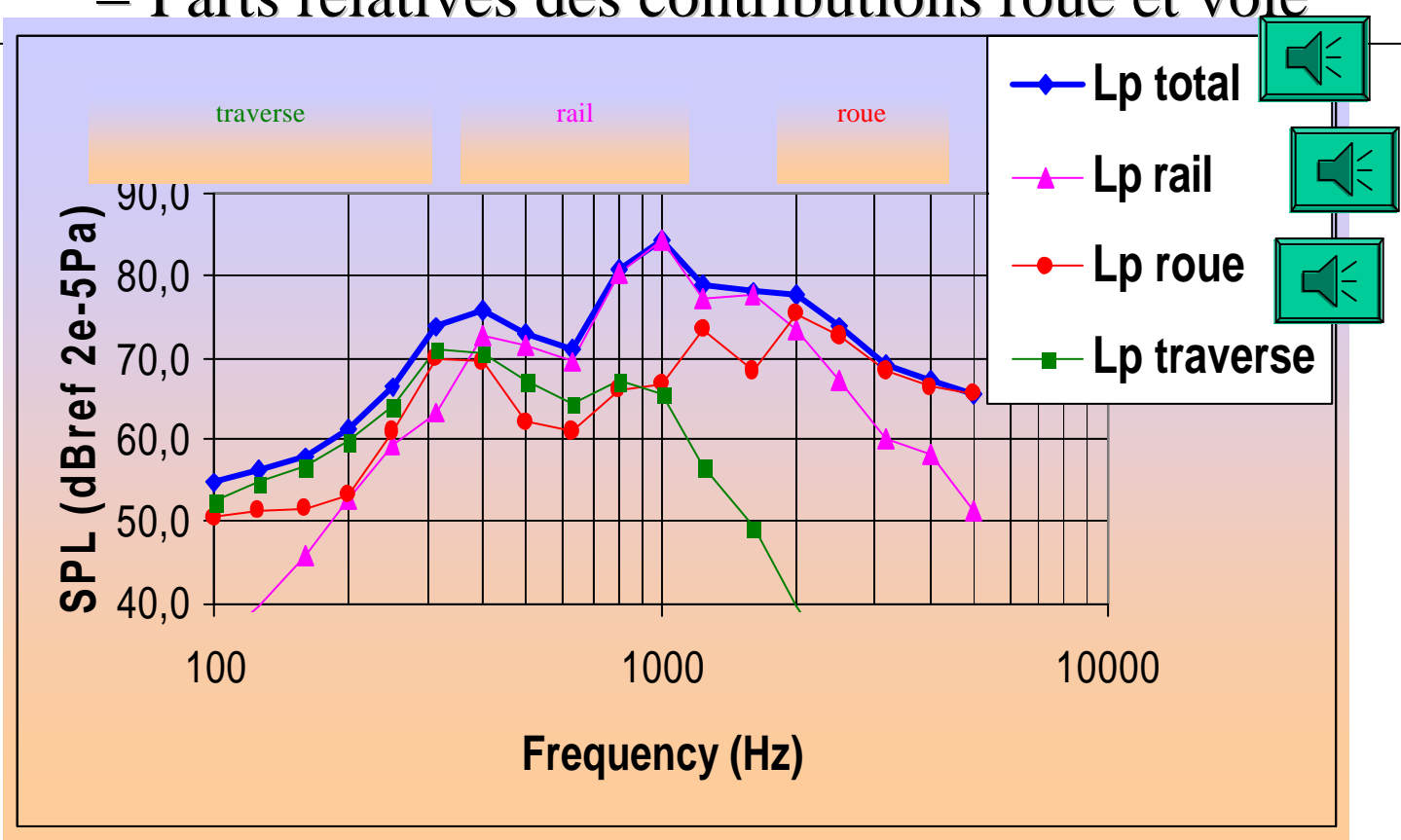
- Bruit de roulement des trains:
- Parts relatives des contributions roue et voie



$$\frac{U(x,jw)}{F_{x_0}(jw)} = \sum_{n=1}^{\infty} \frac{U_n(x)U_n(x_0)}{m_n(-w^2 + 2jwz_nw_n + w_n^2)}$$

- Bruit de roulement des trains:

– Parts relatives des contributions roue et voie



4. Application:réduction du bruit de roulement:modes propres d'une roue de chemin de fer

$$H(x,x_{0},jw) = \frac{U(x,jw)}{F_{x_{0}}(jw)} = \frac{\dot{\mathbf{E}}_{n=1}^{\mathbf{E}} \frac{U_{n}(x)U_{n}(x_{0})}{m_{n}(-w^{2}+2jwz_{n}w_{n}+w_{n}^{2})}$$

Application à l'optimisation acoustique de la roue



Perforated AD860F with ring damper, (ABB/CAF manufacture)



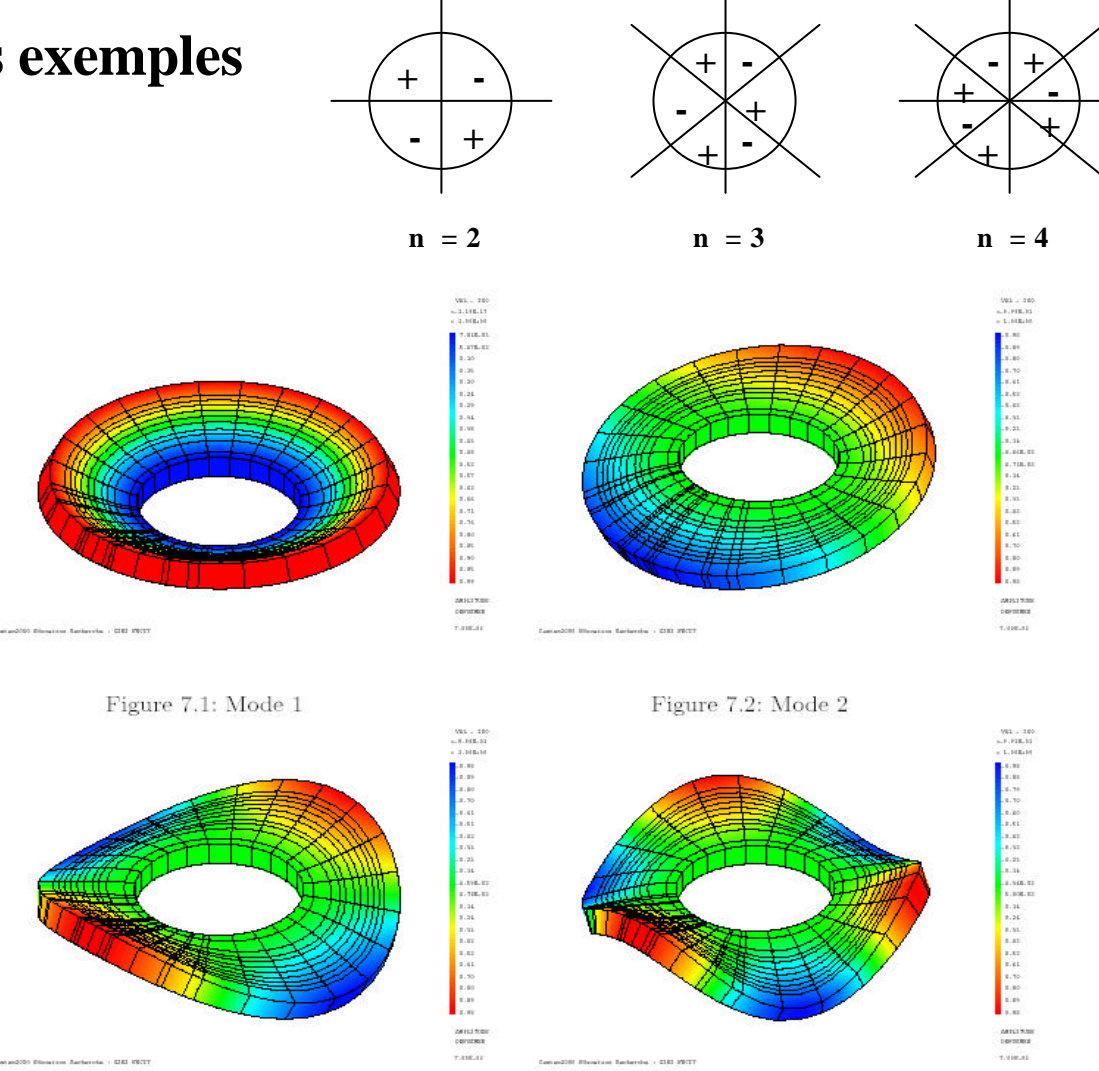
ISVR860F with Web Screens

(Valdunes manufacture)



ISVR 860F with Tuned Absorber (Valdunes manufacture)

Quelques exemples



4. Application:

Question subsidiaire: Comment calculer la réponse d'une structure dont on a travaillé les modes

Modélisation des fréquences crissantes

L'approche théorique pour modéliser le crissement consiste à :

Considérer le crissement comme une instabilité dynamique de l'équilibre stationnaire

Principe:

- ⇒ Déterminer l'équilibre glissant : Zone contact, force normale Ne
- ⇒Etude de stabilité de l'équilibre stationnaire (on introduit une perturbation glissante)

Modélisation des fréquences crissantes

Considérer le crissement comme une instabilité dynamique de l'équilibre stationnaire

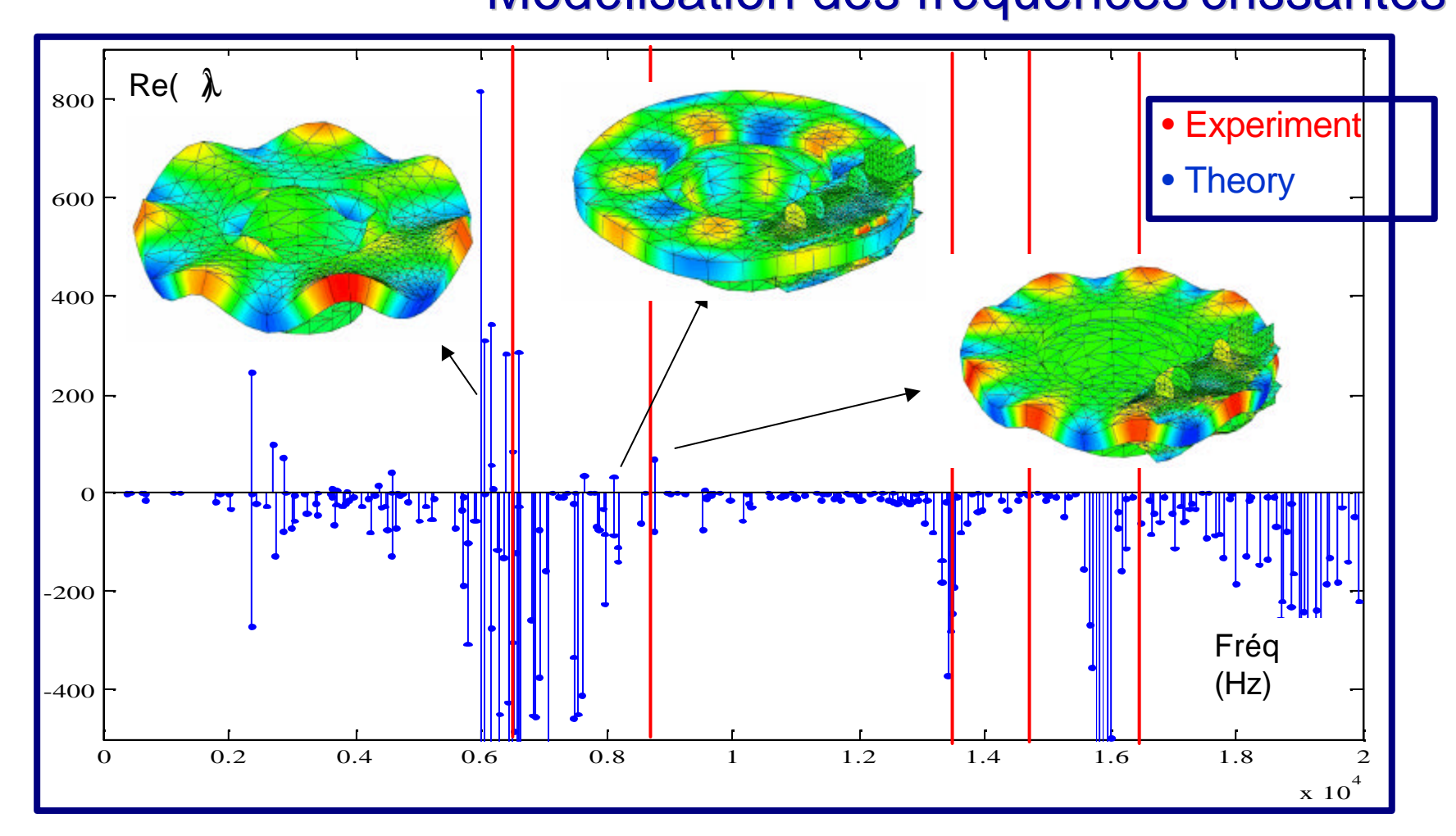
- ⇒Linéarisation des équations matrices de masse et de raideur non symétriques
- ⇒ Analyse de stabilité : trouver les modes complexes associés au problème en projetant sur une base modale sans frottement tronquée
- ⇒un mode est **instable** si la partie réelle de sa valeur propre est positive

Modélisation des fréquences crissantes

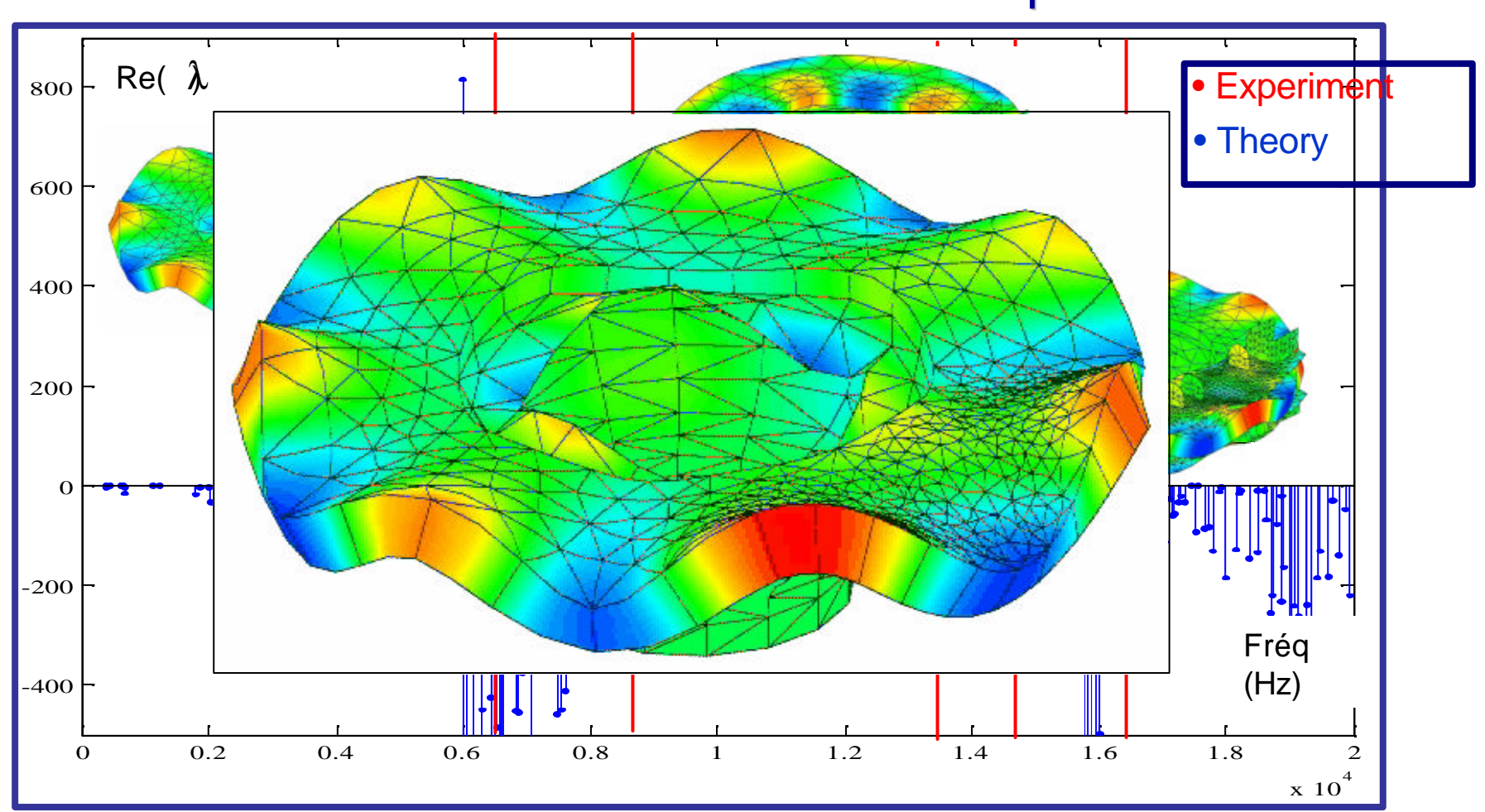
 On calcule alors les termes de l'équation des vibrations du système, et les modes propres associés

$$(\mathbf{M} + f.\mathbf{M_f}).\underline{\ddot{U}}^* + \mathbf{C}.\underline{\dot{U}}^* + (\mathbf{K} + f.\mathbf{K_f}).\underline{U}^* = \underline{0}$$

ETUDE de CAS Modélisation des fréquences crissantes



Modélisation des fréquences crissantes



COMPLEMENTS de DYNAMIQUE des STRUCTURES: MS6:COMMENT REDUIRE LES VIBRATIONS D'UNE STRUCTURE

$$x = Xe^{jwt} = H(jw)F_0e^{jwt},$$

$$H(jw) = \dot{a}\frac{B_i^t B_i}{m_i(-w^2 + 2jd_iw + w_i^2)}$$

Réponse en fréquence

$$h(t) = \sum_{i=1}^{n} B_i q_i = \sum_{i=1}^{n} B_i^{t} B_i e^{-d_i t} \cos(w_i' t + j_i)$$
 h(t):Réponse impulsionnelle

*: produit de convolution

 $\mathbf{x}(t) = \mathbf{h}(t) * f(t),$

Se généralise pour un nombre de modes infini

Finde la MS Merci de votre attention